

# TensorCircuit:NISQ 时代的量子软件框架

TensorCircuit: a Quantum Software Framework  
for the NISQ Era

中文学习笔记

# 目录

<b>1</b>	<b>概述</b>	<b>1</b>
<b>2</b>	<b>简介</b>	<b>2</b>
2.1	模拟量子电路的挑战	2
2.2	机器学习库	3
2.3	量子软件的下一阶段	4
<b>3</b>	<b>TENSORCIRCUIT 概述</b>	<b>5</b>
3.1	设计理念	6
3.2	张量网络引擎	7
3.3	安装和贡献于 TensorCircuit	8
<b>4</b>	<b>电路和门</b>	<b>9</b>
4.1	预备工作	9
4.2	基本电路和输出	10
4.3	指定输入状态和组成电路	13
4.4	电路转换和可视化	13
<b>5</b>	<b>梯度、优化和变异算法</b>	<b>15</b>
5.1	通过 ML 后端进行优化	16
5.2	通过 SciPy 进行优化	17
<b>6</b>	<b>密度矩阵和混合状态演变</b>	<b>18</b>
6.1	用 tc.DMCircuit 进行密度矩阵模拟	18
6.2	用 tc.Circuit 进行蒙特卡洛模拟	20
6.2.1	随机性的外部化	20
<b>7</b>	<b>高级功能</b>	<b>22</b>
7.1	有条件的测量和后选择	22
7.1.1	有条件的测量	22
7.1.2	后期选择	23
7.2	保利期望 (Pauli string expectation)	23
7.2.1	泡利结构和权重	23
7.2.2	使用 c.expectation_ps 的明确循环	24
7.2.3	通过 operator_expectation 的哈密顿人的期望值	24
7.2.4	保利结构上的 vmap	26
7.3	vmap 和 vectorized_value_and_grad	27

7.3.1	分段输入状态 . . . . .	28
7.3.2	分段式电路 . . . . .	29
7.3.3	分组成本函数评估 . . . . .	30
7.3.4	批量机器学习 . . . . .	30
7.3.5	分组的 VQE . . . . .	31
7.3.6	分段式蒙特卡洛噪声模拟 . . . . .	32
7.4	QuOperator 和 QuVector . . . . .	33
7.4.1	QuVector 作为电路的输入状态 . . . . .	34
7.4.2	QuVector 作为电路的输出状态 . . . . .	35
7.4.3	作为待测算子的 QuOperator . . . . .	35
7.4.4	作为量子门的 QuOperator . . . . .	35
7.5	自定义收缩设置 . . . . .	36
7.5.1	定制的收缩路径搜索器 . . . . .	36
7.5.2	子树重构 . . . . .	37
7.6	高级自动分化 . . . . .	38
8	综合实例 . . . . .	42
8.1	量子机器学习 . . . . .	42
8.2	使用 TensorCircuit 和 OpenFermion 的 Molecule VQE . . . . .	43
8.3	贫瘠高原的展示 . . . . .	44
8.4	非常大的电路模拟 . . . . .	45
9	前景和结束语 . . . . .	47
10	致谢 . . . . .	48
11	参考文献 . . . . .	49

# 1

## 概述

**TensorCircuit** 是一个基于张量网络收缩的开源量子电路仿真器，旨在提高速度、灵活性和代码效率。纯粹用 **Python** 编写，并建立在行业标准的机器学习框架之上，**TensorCircuit** 支持自动分化、及时编译、矢量并行和硬件加速。这些功能使 **TensorCircuit** 可以模拟比现有模拟器更大、更复杂的量子电路，特别适合基于参数化量子电路的变异算法。与其他常见的量子软件相比，**TensorCircuit** 使各种量子模拟任务的速度提高了几个数量级，并能以适度的电路深度和低维连接性模拟多达 600 个量子比特。凭借其时间和空间效率、灵活和可扩展的架构以及紧凑、用户友好的 **API**，**TensorCircuit** 的建立是为了促进嘈杂的中尺度量子（**NISQ**）时代的量子算法的设计、仿真和分析。

# 2

## 简介

近年来，用于模拟量子计算机的开源和专有软件 [1] 不断增加。虽然各软件包的特点和功能各不相同，但从整体上看，用户现在有许多高质量的选择，可用于构建和模拟量子电路。然而，为了加深我们对量子算法性能的理解，研究人员越来越需要模拟更大、更复杂的量子电路，并优化可能包含大量可调整参数的量子电路。尽管现有的量子软件很有前途，但在运行大规模、复杂的模拟时仍有许多挑战。这里我们介绍 **TensorCircuit**，一个新的基于张量网络的开源量子电路模拟器，为解决这些挑战而建立。**TensorCircuit** 是用 Python 编写的，并为速度、灵活性和易用性而设计，它建立在一些业界领先的库之上。通过 TensorFlow[2]、JAX[3] 和 PyTorch[4] 机器学习库，为自动区分、及时编译、矢量并行和硬件加速提供了方便的访问。最先进的 cotengra[5, 6] 包实现了快速张量网络收缩，它还为用户提供了对张量网络收缩过程的可定制控制。这些功能使参数化的量子电路得到有效的优化，允许对更复杂的情况进行建模。此外，**TensorCircuit** 的语法旨在允许复杂的任务以最小的代码量来实现，节省了编码和仿真的时间。

### 2.1. 模拟量子电路的挑战

由于能够运行大规模量子算法的完全容错的量子计算机可能还需要很多年的时间，相当多的研究工作已经被用于研究近期内量子优势的前景。一些针对噪声中等规模量子（NISQ）[7] 量子计算机的算法旨在利用经典计算能力来补充量子计算机，而量子计算机可能只有有限数量的易错量子比特受到控制。特别是，混合量子-经典算法 [8, 9]，如变异量子解算器（VQE）[10] 和量子近似优化算法（QAOA）[11] 是围绕参数化量子电路（PQC）的概念。这些电路包含具有可调整参数的量子门（例如，具有可变旋转角度的单量子门），被嵌入到一个经典的优化循环中。通过优化电路中的参数值，人们旨在推动量子电路的输出状态向给定问题的解决方案发展。

在一个典型的 VQE 例子中，人们希望找到具有哈密顿  $H$  的量子系统的基态能量  $E_0$ 。PQC 的输出是一个量子态  $|\psi(\theta)\rangle$ ，其中  $\theta$  是一个可调整参数的矢量。这个试验状态—被称为“答案”—形成对基态波函数的猜测。通过对  $|\psi(\theta)\rangle$  进行适当的测量，可以估计出预期能量  $\langle H \rangle_\theta = \langle \psi(\theta) | H | \psi(\theta) \rangle$ 。通过最小化

$$H_\theta$$

与参数  $\theta$  的关系，可以得到基态能量的上界估计。

$$E_0 \leq \min_{\theta} \langle H \rangle_{\theta}. \quad (2.1)$$

**2.1** 有一些问题影响了这种方法的效果和效率。首先，为了准确估计  $E_0$ ，对于某些  $\theta$  值来说，定理  $|\psi(\theta)\rangle$  应该是对真实基态的良好近似。是否如此，取决于问题的性质和构建答案的 PQC 的复杂性。一方面，简单的答案—例如 [12] 的“硬件高效”答案—可能更容易在真实或模拟的量子计算机上实现，但可能不够准确（例如，由于缺乏物理相关的结构或短深度），或者受到其他问题的影响，例如参数空间中的所谓贫瘠高原 [13] 或能量景观中的局部最小值 [14]。另一方面，更复杂的答案，如为量子化学问题提出的单元耦合集群（UCC）[15] 方法，可能需要量子电路的复杂性和深度超过目前可以实现或模拟的，相关的电路必须被截断或简化。如果能够模拟更大更深的量子电路，就可以对更大类的答案进行系统研究。

其次，对于一个给定的答案， $\langle H \rangle_{\theta}$  的评估可能是一个复杂的过程。例如，考虑  $H$  是一个  $n$  比特哈密顿的情况，它可以被表达为保利算子的张量积的加权和，即。

$$H = \sum_{j=1}^K a_j P_j \quad (2.2)$$

其中  $a_j$  是实系数，每个保利串<sup>1</sup> $P_j$  的形式为  $P_j = \sigma_{i_1} \oplus \sigma_{i_2} \oplus \dots \oplus \sigma_{i_n}$ ，而  $a_j$  是单比特保利算子或同一性。在最直接的方法中，估计  $\langle H \rangle_{\theta}$  是通过首先估计每个项  $\langle P_j \rangle_{\theta}$  的期望值，然后把这些单独的贡献加在一起进行的。如果 Hamiltonian 由许多 Pauli 项组成，那么加速评估公式 2.2 的方法—例如通过利用  $H$  的有效表示（例如作为稀疏矩阵或矩阵乘积算子（MPO）[16]），或者能够并行计算多个项，可以对计算时间产生很大影响。

第三，公式 2.1 中的优化问题，一般来说，是非凸的。因此，寻找全局最小值一般来说在计算上是难以实现的。然而，如果潜在的复杂表达式的梯度可以被有效地评估，我们可以使用梯度下降方法来寻找局部最小值，这可能会产生一个体面的近似解。通过从一些不同的位置（即不同的  $\theta$  值）初始化优化，可以得到多个局部最小值，提高其中一个给出好的解决方案的机会。如果这些多个解决方案可以并行优化，就可以实现巨大的效率提升。

## 2.2. 机器学习库

上一节讨论的挑战在很大程度上与机器学习，特别是深度学习 [17] 中面临的问题重叠。幸运的是，解决日益复杂的机器学习问题和处理规模越来越大的数据集的需要，导致了令人印象深刻的软件的发展，现在有许多框架，将强大的功能和易于使用的语法结合起来。特别是：

**快速梯度：**所有高级机器学习包的核心是执行自动分化（AD）的能力 [18, 19]，其中用于训练神经网络的反向传播算法是一个特殊的例子。AD 能够有效地计算代码中定义的函数的梯度，对许多机器学习模型的优化至关重要。

**JIT：**及时编译是一种在程序执行过程中对代码的某些部分进行编译的方式。对于像 Python 这样的解释型语言，“jitted”函数可以带来巨大的性能提升，执行 jitted 函数所需的时间往往只是该函数被解释时的一小部分。虽然在第一次调用函数时，可能会有编译所需的开销（staging time），但如果该函数随后被多次调用，这一成本可以忽略不计。

<sup>1</sup>一个-qubit Pauli 可以用一个由 ['I', 'X', 'Y', 'Z'] 的字符组成的字符串来表示，也可以选择相位系数。例如。XYZ 或 '-iZIZ'。在字符串表示中，qubit-0 对应于最右边的 Pauli 字符，而 qubit-1 对应于最左边的 Pauli 字符。

维基百科解释 谷歌 Quantum AI 使用说明 IBM Qiskit 使用说明

**矢量化 (VMAP):** 这个功能允许在多个点上并行评估一个函数，与使用天真的 `for` 循环相比，速度明显提高。在机器学习中，这允许人们，例如，同时对成批的数据进行计算。

**硬件加速:** 对于复杂的机器学习模型，在多个 CPU、GPU 和 TPU 上执行代码的能力对于在合理的时间完成训练可能是必要的。

这些强大的功能也有利于模拟量子计算机，特别适合于变量量子算法。在这里，通过自动微分的快速梯度评估给了模拟器一个固有的优势，而真实的量子计算机必须以不太直接的方式来估计梯度；例如，通过对各种输入参数选择的输出进行采样并计算有限差分 [20, 21]。矢量化可以（除其他外）用于评估具有多个参数选择的 PQC 电路，或者同时计算多个保利串的期望值，而 JIT 和硬件加速则可以进一步节省时间。

此外，人们对通过量子计算解决机器学习问题，以及结合经典和量子机器学习算法的兴趣越来越大。经典 ML 框架和量子电路模拟器之间更好的整合可以促进这两方面的发展，并且可以从两者的无缝整合中获得巨大价值。

## 2.3. 量子软件的下一阶段

虽然量子软件在过去几年中取得了很大的进步—Qiskit[22]、Cirq[23]、HiQ[24]、Q[25] 和 qulacs[26] 等软件包都提供了强大的功能和特性，但高效的量子模拟软件辅以最先进的机器学习的能力和特性，仍然可以获得巨大的优势。最近，新一代的量子软件开始出现，Python 生态系统中的 TensorFlow Quantum[27]、PennyLane[28]、Paddle Quantum[29] 和 MindQuantum[30] 在这里取得了进展，并不同程度地提供了这些功能。然而，到目前为止，这些都没有完全结合上一节的所有关键功能和快速量子电路仿真。TensorCircuit 的设计就是为了填补这一空白，给用户提供一个更快、更灵活、更方便的方式来模拟量子电路。

# 3

## TENSORCIRCUIT 概述

	AD	JIT	VMAP	GPU
TensorFlow	✓✓	✓✓✓	✓✓	✓✓✓
JAX	✓✓✓	✓✓✓	✓✓✓	✓✓✓
PyTorch	✓✓	✓	✓	✓✓✓
NumPy	.	.	.	.

图 3.1: 后端 TensorFlow、JAX 和 PyTorch 与中间件 TENSORCIRCUIT

我们开发 **TensorCircuit** 的目的是提供第一个高效的、基于张量网络的量子模拟器，它与现代机器学习框架的主要特征完全兼容，特别是自动分化、矢量并行和即时编译的编程范式。这些功能是通过一些流行的机器学习后端提供的，在撰写本文时，这些后端是 **TensorFlow**、**JAX** 和 **PyTorch**（见表3.1）。



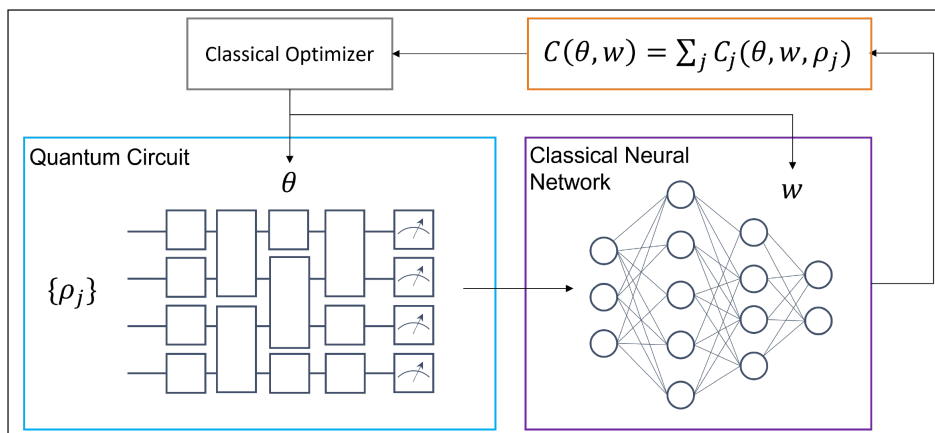


图 3.2: 一个一般的混合量子-经典神经网络，其中成本函数  $C$  在一批输入状态  $\rho_j$  上求和，并依赖于量子电路和经典神经网络的参数。通过使用经典优化器，两个网络的参数可以被反复改进。与经典机器学习后端集成，可以在 **TensorCircuit** 中无缝模拟整个端到端过程，**vmap**、**jit** 和自动分化使整个优化过程的效率提高。

与这些后端的集成允许一般的混合量子-经典模型，其中参数化的量子电路的输出可以被输入到经典的神经网络中，或者反之，并进行无缝模拟（见图3.2）。这种整合也是量子机器学习研究的关键 [31]。目前，基于张量网络的量子模拟器的选择非常有限，大多数流行的软件都是使用状态矢量模拟器。状态矢量模拟器受到内存的强烈限制，因为波函数振幅是完全存储的，因此在模拟具有较大数量的量子比特的电路时可能会遇到困难。另一方面，具有大量（可能是嘈杂的）量子比特但电路深度相对较短的量子电路—例如那些对应于 **NISQ** 设备的量子比特具有较短的相干时间—属于张量网络模拟器的适用区域。

### 3.1. 设计理念

在高效的基于张量网络的仿真引擎支持下，与现代机器学习范式无缝集成，**TensorCircuit** 的设计从一开始就以下列原则为基础。**速度**: **TensorCircuit** 使用张量网络收缩来模拟量子电路，并与最先进的第三方收缩引擎兼容。相比之下，目前大多数流行的量子模拟器是基于状态矢量的。张量收缩框架允许 **TensorCircuit**，在许多情况下。

与其他模拟器相比，**TensorCircuit** 可以在时间和空间上提高模拟量子电路的效率。**JIT**、**AD**、**VMAP** 和 **GPU** 支持也都可以许多情况下提供明显的加速（通常是几个数量级）。

**灵活性**: **TensorCircuit** 的设计是与后端无关的，因此可以在任何机器学习后端之间轻松切换，而不会改变语法或功能。通过不同的 **ML** 后端，可以灵活地模拟混合量子-经典神经网络，在 **CPU**、**GPU** 和 **TPU** 上运行代码，并在 **32** 位和 **64** 位精度数据类型之间切换。

**代码效率**: 现代机器学习框架，如 **TensorFlow**、**PyTorch** 和 **JAX**，具有用户友好的语法，允许以最小的代码量执行强大的任务。通过 **TensorCircuit**，我们同样专注于一个紧凑和易于使用的 **API**，以提高可读性和生产力。与其他流行的量子模拟软件相比，**TensorCircuit** 通常可以用少得多的代码执行类似的任务（见 **tc** 与 **tfq** 的 **VQE** 的例子）。此外，**TensorCircuit** 的后端不可知的语法使其很容易在 **ML** 框架之间切换，只需一行设置代码。

**关注社区** **TensorCircuit** 是开源软件，我们关注代码库的可读性、可维护性和可扩展性。我们邀请量子计算社区的所有成员参与其持续发展和使用。

### 3.2. 张量网络引擎

TensorCircuit 使用张量网络形式主义来模拟量子电路，这种形式主义在计算物理学中有着悠久的历史，最近被率先用于量子电路模拟 [32]。事实上，量子电路和张量网络的图形表示是一致的，这使得量子电路模拟与张量网络收缩的转换变得直接而简单。在这幅图中，量子电路由对应于单个量子门的低等级张量网络表示，振幅、期望值或其他标量的计算是通过收缩网络的边缘直到只剩下一个节点来进行的。边缘收缩的顺序或路径很重要，对收缩网络所需的时间和空间有很大影响 [6, 33, 34]。参见 [35]，从物理学角度对张量网络做了很好的介绍。

在最一般的情况下，与其他类型的量子模拟器一样，通过张量网络收缩来模拟量子电路所需的时间与量子比特的数量成指数关系。然而，在特殊情况下—包括许多具有实际意义的情况—张量网络收缩可以提供显著的优势，因为它避免了困扰全状态模拟器的内存瓶颈，到目前为止，最大规模的量子计算模拟，如量子超限实验中使用的随机电路的模拟 [36, 37] 都是通过这种方法进行的 [38-43]。

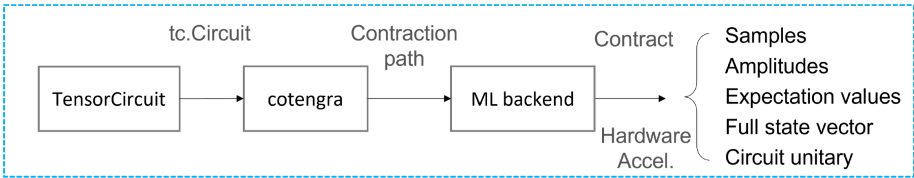


图 3.3: 图 1 中的量子电路组件示意图。在 TensorCircuit 中，构成量子电路的门被包含在 tc.Circuit 对象中。电路输出的计算分两步执行。首先，张量收缩路径由收缩引擎确定，例如 cotengra，后端负责实际收缩。

TensorCircuit 中使用的张量网络数据结构由 TensorNetwork[44] 软件包提供。此外，TensorCircuit 可以利用最先进的外部 Python 包，如 cotengra 来选择有效的收缩路径，然后由用户选择的机器学习后端通过 einsum 和 matmul 进行收缩（见图4.1）。

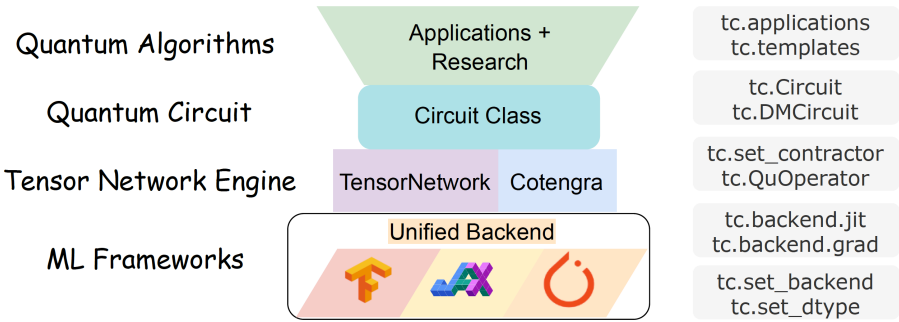


图 3.4: TensorCircuit 的软件架构。抽象层显示在左边，而代表性的 API 显示在右边。在底部，不同的机器学习框架，如 TensorFlow、JAX 和 PyTorch，通过一组与后端无关的 API 被统一起来。这些后端与张量网络引擎一起，实现了高效的量子电路模拟和量子-经典混合算法和应用的实施。

架构量子电路模拟的张量网络引擎是建立在各种机器学习框架之上的，中间有一个抽象层，统一了不同的后端。在应用层，TensorCircuit 还包括基于我们最新研究 [45-49] 的各种高级量子算法。整体软件架构如图 3 所示。

### 3.3. 安装和贡献于 TensorCircuit

TensorCircuit is open-sourced under the Apache 2.0 license. The software is available on the Python Package Index (PyPI) and can be installed using the command `pip install tensorcircuit`.

TensorCircuit 是在 Apache 2.0 许可下开源的。该软件可在 Python 软件包索引 (PyPI) 上找到，可以使用 `pip install tensorcircuit` 命令进行安装。

The development of TensorCircuit is open-sourced and centered on GitHub: welcome all members of the quantum community to contribute, whether it is • Answering questions on the discussion page or issues page. • Raising issues such as bug reports or feature requests on the issues page. • Improving the documentation (docstrings/tutorials) by pull requests. • Contributing to the codebase by pull requests. For more details, please refer to the contribution guide: [contribution.html](#).

TensorCircuit 的开发是开源的，以 GitHub 为中心：欢迎量子社区的所有成员作出贡献，无论是

- 在讨论页或问题页上回答问题。
- 在问题页上提出问题，如错误报告或功能请求。通过拉动请求改进文档 (docstrings/tutorials)。
- 通过拉动请求对代码库进行贡献。

更多细节，请参考贡献指南：[contribution.html](#)。

# 4

## 电路和门

### Jupyter notebook: 3-circuits-gates.ipynb

在 **TensorCircuit** 中，通过 `tc.Circuit(n)` API 创建  $n$  个量子比特上的量子电路—它支持通过蒙特卡洛轨迹方法进行无噪声和噪声模拟。这里我们展示了如何创建基本电路，对其应用门，并计算各种输出。

### 4.1. 预备工作

在本文的其余部分，我们假设我们同时导入了 **TensorCircuit** 和 **NumPy** 作为

Listing 4.1: 导入 TensorCircuit 和 NumPy

```
1 import tensorcircuit as tc
2 import numpy as np
```

此外，我们假设已经设置了一个 **TensorCircuit** 的后端，如：

Listing 4.2: 导入 TensorCircuit 和 NumPy

```
1 K = tc.set_backend("tensorflow")
```

和代码片段中出现的符号 **K**（例如 `K.real()`）指的是该后端。`set_backend` 方法的其他选项是“jax”、“pytorch”和“numpy”（默认后端）。

在 **TensorCircuit** 中，量子比特从 0 开始编号，多量子比特寄存器从左边的第 4 个量子比特开始编号，例如： $|0\rangle_{q0}|1\rangle_{q1}|0\rangle_{q1}$ 。除非需要，我们将省略下标，并使用紧凑的符号，例如： $|010\rangle$  表示多比特状态。 $X, Y, Z$  表示标准的单量子位保利算子，用下标表示，例如  $X_3$ ，以明确哪个量子位被作用。相对于一个状态  $|\psi\rangle$  的算子的期望值，例如  $\langle\psi|Z \oplus | \oplus X|\psi\rangle$  将被简记为  $\langle Z_0 X_2 \rangle$ 。除非说明，期望值总是相对于一个给定的量子电路的输出状态而言的。如果该电路由一组角度  $\psi$  参数化，那么与参数有关的期望值可以用  $\langle \cdot \rangle$  来表示。在 **TensorCircuit** 中，默认的运行数据类型是 **complex64**，但如果需要更高的精度，可以按如下方式设置。

Listing 4.3: 更高的精度

```
1 tc.set_dtype("complex128")
```

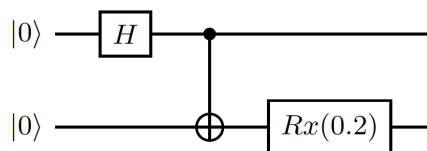
## 4.2. 基本电路和输出

Consider the following two-qubit quantum circuit consisting of a Hadamard gate on qubit q0, a CNOT on qubits q0 and q1, and a single qubit rotation  $R_X(0.2)$  of qubit q1 by angle 0.2 about the X axis (see Figure 4). Qubits are numbered from 0 with q0 on the top row. This circuit can be implemented in TensorCircuit as

考虑下面的双量子电路，包括在量子位 **q0** 上的哈达玛德门，在量子位 **q0** 和 **q1** 上的 **CNOT**，以及量子位 **q1** 的单量子位旋转  $R_X(0.2)$ ，围绕 **X** 轴的角度为 **0.2**（见图 4）。量子位从 **0** 开始编号，**q0** 在最上面一行。这个电路可以在 **TensorCircuit** 中实现为

**Listing 4.4:** 围绕 X 轴的角度为 0.2 的状态

```
1 c = tc.Circuit(2)
2 c.h(0)
3 c.cnot(0, 1)
4 c.rx(1, theta=0.2)
```



**图 4.1:** 一个由 Hadamard、CNOT 和单量子 RX 旋转组成的双量子电路。

由此，可以计算出各种输出。

**基本输出.** 完整的波函数可以通过以下方式获得

**Listing 4.5:** 基本输出

```
1 c.state()
```

这将输出一个数组  $[a_{00}, a_{01}, a_{10}, a_{11}]$ ，对应于  $|00\rangle, |01\rangle, |10\rangle, |11\rangle$  基态的振幅。完整的波函数也可以用来生成量子比特子集的还原密度矩阵，例如；

**Listing 4.6:** 生成量子比特子集的还原密度矩阵

```
1 # reduced density matrix for qubit 1
2 s = c.state()
3 tc.quantum.reduced_density_matrix(s, cut=[0]) # cut: list of qubit indices to trace out
```

单个基向量的振幅是通过向振幅函数传递相应的位串值来计算的。例如， $|0\rangle$  基向量的振幅是通过以下方式计算的

**Listing 4.7:** 单个基向量输出

```
1 amplitude("10")
```

对应于整个量子电路的单元矩阵也可以被输出。

电路需要用  
Latex 重画

**Listing 4.8:** 对于整个量子电路的单元矩阵输出

```
1 c.matrix()
```

### 测量和样本

对应于  $Z$ -测量的随机样本，即在  $\{|0\rangle, |1\rangle\}$  的基础上，对所有量子比特的测量可以用以下方法产生

**Listing 4.9:** 对于整个量子电路的单元矩阵输出

```
1 c.sample()
```

它将输出一个 **(bitstring, probability)** 元组，包括一个二进制字符串，对应于对所有量子比特进行  $Z$  测量的测量结果以及获得该结果的相关概率。对一个子集的量子比特的  $Z$  测量可以用测量命令来执行

**Listing 4.10:** 子集的量子比特的  $Z$  测量输出

```
1 # return (outcome, probability) of measuring qubit 0 in Z basis
2 print(c.measure(0, with_prob=True))
```

对于多个量子位的测量，只需提供一个要测量的指数列表，例如，如果  $c$  是一个 4 量子位电路，对量子位 1、3 的测量可以通过以下方式完成

**Listing 4.11:**  $c$  是一个 4 量子位电路，对量子位 1、3 的测量

```
1 c.measure(1, 3, with_prob=True)
```

请注意，为了计算这些结果，测量门不需要明确地添加到电路中，而且测量和采样命令不会使电路输出状态崩溃。测量门可以被添加和使用，例如，当门必须以电路中间的测量结果为条件来应用时（见第六节 **A**）。

期望值。诸如  $\langle X_0 \rangle$ ,  $\langle X_1 + Z_1 \rangle$  或  $\langle Z_0 Z_1 \rangle$  这样的期望值可以通过电路对象的期望方法计算，其中运算符通过门对象或简单的数组定义。

什么意思？

**Listing 4.12:** 运算符通过门对象或简单的数组定义

```
1 c.expectation([tc.gates.x(), [0]]) # <X0>
2 c.expectation([tc.gates.x() + tc.gates.z(), [1]]) # <X1 + Z1>
3 c.expectation([tc.gates.z(), [0]], [tc.gates.z(), [1]]) # <Z0 Z1>
```

和用户定义的运算符的期望值也可以通过提供相应的矩阵元素阵列来计算。例如，运算符  $2X + 3Z$  可以用矩阵表示为

$$\begin{pmatrix} 3 & 2 \\ 2 & -3 \end{pmatrix}$$

并实现（假设观测点是在 0 号量子位上测量）为

**Listing 4.13:** 在 0 号量子位上测量

```
1 c.expectation([np.array([[3, 2], [2, -3]]), [0]])
```

### 泡利串的期望值.

虽然泡利算子的乘积的期望值，例如  ${}_0X_1$  可以使用上述的 `c.expectation` 来计算，但 `TensorCircuit` 提供了另一种计算这种表达式的方法，对于较长的泡利串可能更方便。

**Listing 4.14:** 较长的泡利串表达

```
1 c.expectation_ps(x=[1], z=[0])
```

而更长的泡利串也同样可以通过提供与  $X, Y, Z$  算子所作用的量子比特相对应的索引列表来计算。例如，对于一个  $n = 5$  的量子比特电路，期望值  ${}_0X_1Z_2Y_4$  可计算为

**Listing 4.15:** 对于一个  $n$

```
1 expectation_ps(x=[1], y=[4], z=[0, 2])
```

标准量子门。除了我们目前遇到的 `CNOT`、`Hadamard` 和 `RX` 门之外，`TensorCircuit` 还为各种常见的量子门提供支持。全部门的列表可以通过查询找到

**Listing 4.16:** 查询全部门的列表

```
1 tc.Circuit.sgates # non-parameterized gates
2 tc.Circuit.vgates # parameterized gates
```

对应于某个门的矩阵，例如 `Hadamard h` 门，可以通过以下方式访问

**Listing 4.17:** Hadamard  $h$  门

```
1 tc.gates.matrix_for_gate(tc.gates.h())
```

### 任意的单元门

用户定义的单元门可以通过将其矩阵元素指定为数组来实现。例如，单元门

$$S = \begin{pmatrix} 1 & 0 \\ 0 & i \end{pmatrix}$$

也可以通过调用 `c.s()` 直接添加 -  $0i$  可以被实现为

**Listing 4.18:** 用户定义的单元门

```
1 c.unitary(0, unitary = np.array([[1,0],[0,1j]]), name=' S ')
```

其中，可选的名称参数指定了当电路输出到 `LATEX` 时如何显示这个门。

### 指数门

形式为  $e^{i\psi G}$  的门，其中矩阵  $G$  满足  $G^2 = I$ ，允许通过 `exp1` 命令快速实现，例如，作用于量子位  $0$  和  $1$  的双量子位门  $e^{i\psi Z \oplus Z}$

**Listing 4.19:** 双量子位门

```
1 c.exp1(0, 1, theta=0.2, unitary=tc.gates._zz_matrix)
```

其中 `tc.gates._zz_matrix` 创建了一个对应于矩阵的 `numpy` 数组。

$$Z \oplus Z = \begin{pmatrix} 1 & 0 & 0 & 0 \\ 0 & -1 & 0 & 0 \\ 0 & 0 & -1 & 0 \\ 0 & 0 & 0 & -1 \end{pmatrix} \quad (4.2)$$

一般的指数门，其中  $G^2 \neq I$  可以通过 `exp` 命令实现。

Listing 4.20: 指数门

```
1 c.exp(0, theta=0.2, unitary=np.array([[2, 0],[0, 1]]))
```

### 非单片门

`TensorCircuit` 也支持非单片门的应用，方法是提供一个非单片矩阵作为 `c.unitary` 的参数，例如：

Listing 4.21: 非单片门

```
1 c.unitary(0, unitary=np.array([[1,2],[2,3]]), name=' non_unitary' )
```

请注意，非单片门将导致输出状态不再被归一化，因为归一化往往是不必要的，并且需要额外的计算时间。

## 4.3. 指定输入状态和组成电路

默认情况下，量子电路被应用于初始的全零乘积状态。可以通过向 `tc.Circuit` 的可选输入参数传递一个包含输入状态振幅的数组来设置任意的初始状态。

例如，最大纠缠状态  $\frac{|00\rangle+|11\rangle}{\sqrt{2}}$  可以被输入如下。

Listing 4.22: 最大纠缠状态  $\frac{|00\rangle+|11\rangle}{\sqrt{2}}$ 

```
1 c1 = tc.Circuit(2, inputs=np.array([1, 0, 0, 1] / np.sqrt(2)))
```

矩阵产品状态 (MPS) 形式的输入状态也可以通过 `tc.Circuit` 的可选 `mps_inputs` 参数输入。详见第六节 D。

作用于相同数量量子比特的电路可以通过 `c.append()` 或 `c.predend()` 命令组合在一起。有了上面定义的 `c1`，我们可以创建一个新的电路 `c2`，然后将它们组合在一起。

Listing 4.23: 组合  $\frac{|00\rangle+|11\rangle}{\sqrt{2}}$ 

```
1 c2 = tc.Circuit(2)
2 c2.cnot(0, 1)
3
4 c3 = c1.append(c2)
```

这导致了电路  $C_3$ ，它相当于首先应用  $C_1$ ，然后是  $C_2$ 。

## 4.4. 电路转换和可视化

`tc.Circuit` 对象可以与 `Qiskit QuantumCircuit` 对象进行转换。输出到 `Qiskit` 的方法是

Listing 4.24: 对象进行转换

```
1 c.to_qiskit()
```

然后产生的 `QuantumCircuit` 对象可以被编译并在兼容的物理量子处理器和模拟器上运行。反之，从 `Qiskit` 导入一个 `QuantumCircuit` 对象是通过

Listing 4.25: 从 Qiskit 导入一个 QuantumCircuit 对象

```
1 c = tc.Circuit.from_qiskit(QuantumCircuit)
```



有两种方法可以将 **TensorCircuit** 中生成的量子电路可视化。第一种是使用

**Listing 4.26:** 可视化输出

```
1 print(c.tex())
```

其中，使用 **LATEX quantikz** 软件包 [50] 输出绘制相关量子电路的代码。

第二种方法是使用绘制函数。

**Listing 4.27:** 绘制函数

```
1 c.draw()
```

的捷径，它是

**Listing 4.28:** 绘制函数长

```
1 qc = c.to_qiskit()
2 qc.draw()
```

支撑电路转换和可视化工具的是 **TensorCircuitCircuit** 对象的量子中间表示 (IR)，它可以通过以下方式获得

**Listing 4.29:** 绘制函数长

```
1 c.to_qir()
```

# 5

## 梯度、优化和变异算法

**TensorCircuit** 旨在使参数化量子门的优化变得简单、快速和方便。考虑一个作用于  $n$  量子比特的变量电路，由  $k$  层组成，其中每一层包括相邻量子比特之间的参数化  $e^{iX \oplus X}$  门，然后是一串单量子比特的参数化 **Z** 和 **X** 旋转。

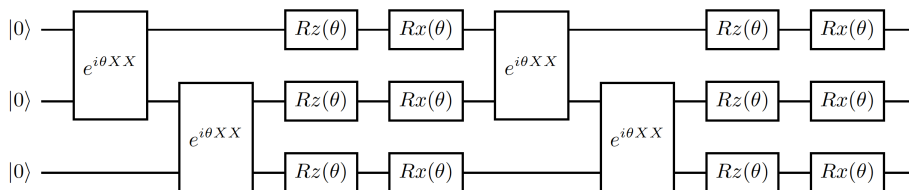


图 5.1: 一个参数化、分层的量子电路。每个门都依赖于一个单独的参数，这里都示意性地表示为  $\psi$

我们现在展示如何在 **TensorCircuit** 中实现这样的电路，以及如何使用机器学习后端之一来轻松有效地计算成本函数和梯度。一般  $n$ 、 $k$  和一组参数的电路可以定义如下。

Listing 5.1:  $n$ 、 $k$  和一组参数的电路

```
1 def qcircuit(n, k, params):
2     c = tc.Circuit(n) for j in range(k):
3         for i in range(n - 1):
4             c.exp1(
5                 )
6         for i in range(n):
7     return c
```

作为一个例子，我们把  $n = 3$ ， $k = 2$ ，设置 **TensorFlow** 作为我们的后端，并定义一个能量成本函数来最小化

$$E = \langle X_0 X_1 \rangle_\theta + \langle X_1 X_2 \rangle_\theta \quad (5.1)$$

Listing 5.2:  $E$

```

1 n=3
2 k=2
3
4 K = tc.set_backend("tensorflow")
5
6 def energy(params):
7     return K.real(e)

```

**K.grad** 和 **K.value\_and\_grad**。利用 ML 后台对自动微分的支持，我们现在可以快速计算能量和能量的梯度（相对于参数而言）。

**Listing 5.3:** 快速计算能量和能量的梯度

```

1 energy_val_grad = K.value_and_grad(energy)

```

这创建了一个函数，给定一组参数作为输入，它同时返回能量和能量的梯度。如果只需要梯度，那么可以通过 **K.grad(energy)** 来计算。虽然我们可以在一组参数上直接运行上述代码，但如果要对能量进行多次评估，使用该函数的即时编译版本可以大大节省时间。

**Listing 5.4:** 函数的即时编译版本可以大大节省时间

```

1 energy_val_grad_jit = K.jit(energy_val_grad)

```

使用 **K.jit**，能量和梯度的初始评估可能需要更长的时间，但随后的评估将明显比非 **jit** 的代码快。我们建议一直使用 **jit**，只要函数是‘张量输入，张量输出’，我们努力使电路模拟器的所有方面与 **JIT** 兼容。

## 5.1. 通过 ML 后端进行优化

有了能量函数和梯度，参数的优化就很简单了。下面是一个如何通过随机梯度下降进行优化的例子。

**Listing 5.5:** 通过随机梯度下降进行优化的例子

```

1 learning_rate = 2e-2
2 opt = K.optimizer(tf.keras.optimizers.SGD(learning_rate))
3
4 def grad_descent(params , i):
5     params = opt.update(grad, params)
6     if i % 10 == 0:
7         params = K.implicit_randn(k * (3 * n - 1))
8     for i in range(200):
9         params = grad_descent(params , i)

```

虽然这个例子是用 **TensorFlow** 后端完成的，但切换到 **JAX** 也可以很容易做到。只需要使用 **JAX** 优化库 **optax**[51] 来重新定义优化器 **opt**。

**Listing 5.6:** 通过 JAX 随机梯度下降进行优化的例子

```

1 import optax
2 opt = tc.backend.optimizer(optax.sgd(learning_rate))

```

然后，通过以下方式选择 **JAX** 作为后端

Listing 5.7: JAX 后端

```
1 K = tc.set_backend("jax")
```

并完全按照上述方法执行梯度下降。注意，如果没有明确设置后端，TensorCircuit 默认使用 NumPy 作为后端，这不允许自动区分。

## 5.2. 通过 SciPy 进行优化

使用机器学习后端进行优化的另一个选择是使用 SciPy。这可以通过 `scipy_interface` API 调用完成，并允许使用基于梯度（如 BFGS）和非梯度（如 COBYLA）的优化器，这些优化器无法通过 ML 后端获得。

Listing 5.8: SciPy 优化

```
1 import scipy.optimize as optimize
2
3 f_scipy = tc.interfaces.scipy_interface(energy, shape=[k * (3 * n - 1)], jit=True)
4 params = K.implicit_randn(k * (3 * n - 1))
```

上面的第一行指定了提供给要最小化的函数的参数形状，这里是能量函数。`jit=True` 参数自动处理了能量函数的 `jitting`。同样，通过向 `scipy_interface` 提供 `gradient=False` 参数，可以有效地进行无梯度优化。

Listing 5.9: SciPy 优化

```
1 f_scipy = tc.interfaces.scipy_interface(
2     energy, shape=[k * (3 * n - 1)],
3     jit=True, gradient=False
4 )
5 r = optimize.minimize(f_scipy, params, method="COBYLA")
```

# 6

## 密度矩阵和混合状态演变

TensorCircuit 提供了两种模拟噪声、混合态量子演化的方法。通过使用 `tc.DMCCircuit(n)` 提供  $n$  个量子比特的全密度矩阵模拟，然后在电路中加入量子操作—包括单元门以及由 Kraus 算子指定的一般量子操作。相对于通过 `tc.Circuit` 对  $n$  个量子比特进行的纯状态模拟，全密度矩阵模拟的内存消耗是两倍，因此可模拟的最大系统规模将是纯状态模拟的一半。一个内存密集度较低的选择是使用标准的 `tc.Circuit(n)` 对象，通过蒙特卡洛方法随机地模拟开放系统的演化。

### 6.1. 用 `tc.DMCCircuit` 进行密度矩阵模拟

下面我们通过考虑一个单量子位上的简单电路来说明这种方法，该电路的输入为  $|0\rangle$  状态和最大混合状态的概率混合物所对应的混合状态

$$\rho(\alpha) = \alpha|0\rangle\langle 0| + (1 - \alpha)I/2 \quad (6.1)$$

这个状态然后通过一个应用  $X$  门的电路，接着是对应于参数为  $\varepsilon_\gamma$  的振幅阻尼通道  $\gamma$  的量子操作。这有克劳斯算子

$$k_0 = \begin{pmatrix} 1 & 0 \\ 0 & \sqrt{1-\gamma} \end{pmatrix}, k_1 = \begin{pmatrix} 0 & \sqrt{\gamma} \\ 0 & 0 \end{pmatrix} \quad (6.2)$$

因此，该电路诱发了以下演变

$$\rho(\alpha) \xrightarrow{X} X\rho(\alpha)X \xrightarrow{\varepsilon_\gamma} \sum_{i=0}^1 K_i X\rho(\alpha)X K_i^\dagger \quad (6.3)$$

为了在 TensorCircuit 中进行模拟，我们首先创建一个 `tc.DMCCircuit`（密度矩阵电路）对象，并使用 `dminputs` 可选参数设置输入状态（注意，如果向 `tc.DMCCircuit` 提供纯状态输入，应该通过 `inputs` 可选参数而不是 `dminputs` 完成）。 $\rho(\alpha)$  的矩阵形式为

$$\rho(\alpha) = \begin{pmatrix} \frac{1+\alpha}{2} & \\ & \frac{1-\alpha}{2} \end{pmatrix} \quad (6.4)$$

因此（取  $(\alpha) = 0.6$ ），我们初始化密度矩阵电路如下

Listing 6.1: 密度矩阵电路

```
1 def rho(alpha):
2     return np.array([[ (1 + alpha) / 2, 0], [0, (1 - alpha) / 2]])
3
4 input_state = rho (0.6)
```

添加 X 门（和其他单元门）的方法与纯状态电路的方法相同。

Listing 6.2: 添加 X 门

```
1 dmc.x(0)
```

为了实现一般的量子操作，如振幅阻尼通道，我们使用 `General_kraus`，提供相应的 Kraus 算子列表。

Listing 6.3: Kraus 算子列表

```
1 def amp_damp_kraus(gamma):
2     K0 = np.array([[1, 0], [0, np.sqrt(1 - gamma)]])
3     K1 = np.array([[0, np.sqrt(gamma)], [0, 0]])
4     return K0 , K1
5
6 K0, K1 = amp_damp_kraus(0.3)
```

而完整的密度矩阵输出可以通过以下方式返回

Listing 6.4: 完整的密度矩阵输出可返回

```
1 dmc.state()
```

在这个例子中，我们手动输入了振幅阻尼通道的 Kraus 算子，以说明用 `tc.DMCircuit` 方法实现量子通道的一般方法。事实上，`TensorCircuit` 包括内置的方法来返回一些常见通道的 Kraus 算子，包括振幅阻尼、去极化、相位阻尼和复位通道。例如，参数为  $\gamma$  的相位阻尼通道的 Kraus 算子

$$k_0 = \begin{pmatrix} 1 & 0 \\ 0 & \sqrt{1-\gamma} \end{pmatrix}, k_1 = \begin{pmatrix} 0 & 0 \\ 0 & \sqrt{\gamma} \end{pmatrix} \quad (6.5)$$

可以通过调用

Listing 6.5: 调用方法

```
1 gamma = 0.3
2 K0, K1 = tc.channels.phasedampingchannel(gamma)
```

和相位阻尼通道加入到电路中，通过

Listing 6.6: 调用方法

```
1 dmc.general_kraus([K0, K1], 0)
```

上述操作可以通过一个 API 调用进一步简化。

Listing 6.7: 通过一个 API 调用进一步简化

```
1 dmc.phasedamping(0, gamma=0.3)
```

## 6.2. 用 tc.Circuit 进行蒙特卡洛模拟

蒙特卡洛方法可用于使用 **tc.Circuit** 而不是 **tc.DMCircuit** 对嘈杂的量子演化进行采样，其中混合态有效地被纯态的集合所模拟。与穴位矩阵模拟一样，量子通道 **E** 可以通过提供其相关的克劳斯算子 **K<sub>i</sub>** 的列表添加到电路对象中。该 **API** 与全密度矩阵模拟相同。

**Listing 6.8:** 该 **API** 与全密度矩阵模拟相同

```
1 input_state = np.array([1, 1] / np.sqrt(2))
2 c = tc.Circuit(1, inputs=input_state)
3 c.general_kraus(tc.channels.phasedampingchannel(0.5), 0)
4 c.state()
```

但在这个框架中，作用于  $|\psi\rangle$  的通道的输出，即

$$\varepsilon(|\psi\rangle\langle\psi|) = \sum_i K_i |\psi\rangle\langle\psi| K_i^\dagger \quad (6.6)$$

被看作是一个状态  $\frac{K_i |\psi\rangle}{\sqrt{\langle\psi| K_i^\dagger K_i |\psi\rangle}}$  的集合，每个状态发生的概率  $p_i = \langle\psi| K_i^\dagger K_i |\psi\rangle$ 。因此，上述代码随机地产生了初始化为状态  $|\psi\rangle = \frac{|0\rangle+|1\rangle}{2}$  的单一量子位的输出，并通过参数  $\gamma = 0.5$  的相位阻尼通道。

使用 **unitary\_kraus** 而不是 **general\_kraus** 可以更有效地处理 **Kraus** 算子都是单元矩阵的通道的蒙特卡洛模拟（最多是一个常数）。例如，用  $p_x, p_y, p_z$  作为参数的 **Kraus** 算子的去极化通道：

$$K_0 = (1 - p_x - p_y - p_z) \begin{pmatrix} 1 & 0 \\ 0 & 1 \end{pmatrix}, K_1 = p_x \begin{pmatrix} 0 & 1 \\ 1 & 0 \end{pmatrix}, K_2 = p_y \begin{pmatrix} 0 & -i \\ i & 0 \end{pmatrix}, K_3 = p_z \begin{pmatrix} 1 & 0 \\ 0 & -1 \end{pmatrix} \quad (6.7)$$

可以通过以下方式实现

**Listing 6.9:** 方式实现

```
1 px, py, pz = 0.1, 0.2, 0.3
2 c.unitary_kraus(tc.channels.depolarizingchannel(px, py, pz), 0)
```

其中，在第二行中，**tc.channel.depolarizingchannel(px, py, pz)** 返回所需的 **Kraus** 算子。

### 6.2.1. 随机性的外部化

**General\_kraus** 和 **unitary\_kraus** 的例子都是从各自的方法内部处理随机性的生成。也就是说，当 **Kraus** 算子的列表  $[K_0, K_1, \dots, K_{m-1}]$  被提供给 **general\_kraus** 或 **unitary\_kraus** 时，该方法将区间  $[0, 1]$  划分为  $m$  个连续的区间  $[0, 1] = I_0 \sqcup I_1 \sqcup \dots \sqcup I_{m-1}$ ，其中  $I_i$  的长度与获得结果  $i$  的相对概率成正比。然后从该方法中抽取  $[0, 1]$  中的均匀随机变量  $x$ ，并根据  $x$  所在的区间选择结果  $i$ 。在 **TensorCircuit** 中，我们有完整的后端不可知的基础设施来生成和管理随机数。然而，如果我们依赖这些方法内部的随机数生成，**jit**、随机数和后端切换之间的相互作用往往是微妙的。详见 [advance.html#randoms-jit-backend-agnostic-and-their-interplay](#)。

在某些情况下，最好是先从方法外部生成随机变量，然后将生成的值传递给 **general\_kraus** 或 **unitary\_kraus**。这可以通过可选的状态参数来实现。

**Listing 6.10:** 从方法外部生成随机变量

```

1 px, py, pz = 0.1, 0.2, 0.3
2 x = K.implicit_randn()
3 c.unitary_kraus(tc.channels.depolarizingchannel(px, py, pz), 0, status=x)

```

This is useful, for instance, when one wishes to use `vmap` to batch compute multiple runs of a Monte Carlo simulation. This is illustrated in the example below, where `vmap` is used to compute 10 runs of the simulation in parallel:

这很有用，例如，当人们希望使用 `vmap` 来批量计算蒙特卡洛模拟的多次运行时。下面的例子说明了这一点，`vmap` 被用来并行计算 10 次模拟运行。

**Listing 6.11:** `vmap` 被用来并行计算 10 次模拟运行

```

1 def f(x):
2     c = tc.Circuit(1)
3     c.h(0)
4     c.unitary_kraus(tc.channels.depolarizingchannel(0.1, 0.2, 0.3), 0, status=x) return c.state
5     ()
6 X = K.implicit_randn(10)
7 f_vmap(X)

```

从概念上讲，线

**Listing 6.12:** 线

```

1 f_vmap = K.vmap(f, vectorized_argnums=0)

```

创建一个函数，作为

$$f_vmap \begin{pmatrix} x_0 \\ x_1 \\ \vdots \end{pmatrix} = \begin{pmatrix} f(x_0) \\ f(x_1) \\ \vdots \end{pmatrix} \quad (6.8)$$

而参数 `vectorized_argnums=0` 表示这是我们希望以并行方式批量计算的 `f` 的第 2 个参数（在本例中是唯一参数）。



# 7

## 高级功能

### 7.1. 有条件的测量和后选择

TensorCircuit 允许执行两种与测量结果有关的操作。这两种操作是：(i) 条件性测量，其结果可用于控制下游的条件性量子门，以及 (ii) 后期选择，允许用户选择与特定测量结果相对应的后期测量状态。

#### 7.1.1. 有条件的测量

`cond_measure` 命令用于模拟对一个量子比特进行 Z 测量的过程，产生一个由 Born 规则给出的概率的测量结果，并根据测量结果折叠波函数。获得的经典测量结果可以作为后续量子操作的控制，通过 `conditional_gate` API，例如，可以用来实现典型的远程传输电路。

Listing 7.1: 远程传输电路

```
1 # quantum teleportation of state  $|\psi\rangle = a|0\rangle + \sqrt{1-a^2}|1\rangle$ 
2 a = 0.3
3 input_state = np.kron(np.array([a, np.sqrt(1 - a ** 2)]), np.array([1, 0, 0, 0]))
4 c = tc.Circuit(3, inputs=input_state) c.h(2)
5 c.h(0)
6 # mid-circuit measurements
7 # if x = 0 apply I, if x = 1 apply X (to qubit 2)
8 c.conditional_gate(x, [tc.gates.i(), tc.gates.x()], 2)
9 # if z = 0 apply I, if z = 1 apply Z (to qubit 2)
10 c.conditional_gate(z, [tc.gates.i(), tc.gates.z()], 2)
```

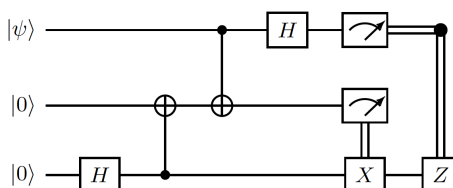


图 7.1: 用 `c.cond_measure` 和 `c.conditional_gate` 实现的远程传输电路。

### 7.1.2. 后期选择

在 `TensorCircuit` 中通过 `post_select` 方法启用后选择。这允许用户通过 `keep` 参数来选择一个量子比特的后  $Z$  测量状态。与 `cond_measure` 不同的是, `post_select` 返回的状态没有被规范化。作为一个例子, 考虑

Listing 7.2: 后期选择

```
1 c = tc.Circuit(2, inputs=np.array([1, 0, 0, 1] / np.sqrt(2)))
2 c.post_select(0, keep=1) # measure qubit 0, post-select on outcome 1
3 c.state()
```

它初始化了一个 2 比特的最大纠缠状态  $|\psi\rangle = \frac{|00\rangle + |11\rangle}{\sqrt{2}}$ 。然后, 第一个量子比特 ( $q_0$ ) 在  $Z$  基中被测量, 与测量结果 1 相对应的非正常化状态  $|11\rangle/\sqrt{2}$  被后选。

这种带有非正常化状态的后选方案速度很快, 例如可以用来探索各种量子算法和非微观的量子物理学, 如测量诱导的纠缠相变 [52-55]。

## 7.2. 保利期望 (Pauli string expectation)

最小化保利弦之和的期望值是量子算法中的一项常见任务。例如, 在 VQE 基态制备的  $n$  位横场 Ising 模型 (TFIM) 中, 哈密顿的

$$H = \sum_{i=0}^{n-2} J_i X_i X_{i+1} - \sum_{i=0}^{n-1} h_i Z_i \quad (7.1)$$

其中  $J_i, h_i$  是模型参数, 我们希望最小化

$$E(\theta) = \langle H \rangle_\theta = \sum_{i=0}^{n-2} J_i \langle X_i X_{i+1} \rangle_\theta - \sum_{i=0}^{n-1} h_i \langle Z_i \rangle_\theta \quad (7.2)$$

与电路参数  $\theta$  有关。`TensorCircuit` 提供了许多方法来计算这种形式的表达式。这种形式的表达式, 在不同的情况下都很有用。在高层次上, 这些方法是

- 循环计算条款, 每个条款由 `c.expectation_ps` 计算。
- 向 `operator_expectation` 函数提供密集矩阵、稀疏矩阵或哈密顿的 MPO 表示。
- 使用 `vmap` 以矢量并行方式计算每个项, 其中每个项作为结构矢量输入。

这些方法的基础是各种表示 Pauli 算子串的方法和这些表示法之间的转换。在详细介绍上述方法之前, 让我们介绍一下 `TensorCircuit` 中使用的 Pauli 结构向量表示法。

### 7.2.1. 泡利结构和权重

一串作用于  $n$  个量子位的保利算子可以表示为一个长度为  $n$  的矢量  $v \in \{0, 1, 2, 3\}^n$ , 其中  $v_i = j$  的值对应于  $\sigma_i^j$ , 即作用于量子位  $i$  的保利算子  $\sigma^j$  (其中  $\sigma^0 = I, \sigma^1 = X, \sigma^2 = Y, \sigma^3 = Z$ )。例如, 在这个符号中, 如果  $n = 3$ , 术语  $X_1 X_2$  对应于  $v = [0, 1, 1]$ 。我们把保利弦的这种矢量表示称为结构, 而结构的列表, 即哈密顿中的每个保利弦项都有一个结构, 被用来作为输入, 以多种方式计算期望值之和。

Listing 7.3: 远程传输电路

```

1 # Pauli structures for Transverse Field Ising Model
2 structures = []
3 for i in range(n - 1):
4     s = [0 for _ in range(n)]
5     s[i + 1] = 1 structures.append(s)
6 for i in range(n):
7     structures.append(s)

```

如果每个结构都有一个相关的权重，例如  $X_i X_{i+1}$  项在哈密顿 (3) 中具有权重  $J_i$ ，那么我们定义一个相应的权重张量

Listing 7.4: 远程传输电路

```

1 # Weights, taking J_i = 1.0, all h_i = -1.0
2 J_vec = [1.0 for _ in range(n - 1)]
3 h_vec = [-1.0 for _ in range(n)]
4 weights = tc.array_to_tensor(np.array(J_vec + h_vec))

```

### 7.2.2. 使用 c.expectation\_ps 的明确循环

正如第三节 B 所介绍的，给定一个 `TensorCircuit` 量子电路 `c`，可以通过向 `c.expectation_ps` 提供一个索引列表来计算单个 Pauli 弦的期望值。然后可以通过一个简单的循环来计算总和。

Listing 7.5: 明确循环

```

1 def tfim_energy(c, J_vec, h_vec)
2     e = 0.0
3     n = c._nqubits
4     for i in range(n):
5         for i in range(n-1):
6             e += J_vec[i] * c.expectation_ps(x=[i, i+1])

```

### 7.2.3. 通过 operator\_expectation 的哈密顿人的期望值

给定一个 `TensorCircuit` 量子电路 `c` 和代表哈密顿的算子 `op`，能量的期望值也可以通过 `TensorCircuit` 模板库的 `operator_expectation` API 计算出来

Listing 7.6: 哈密顿人的期望值

```

1 e = tc.templates.measurements.operator_expectation(c, op)

```

运算器 `op` 本身可以用三种形式之一表示：(i) 密集矩阵，(ii) 稀疏矩阵，和 (iii) 矩阵乘积运算器 (MPO)。密集矩阵的输入。作为一个简单的例子，以哈密顿为例

$$X_0 X_1 - Z_0 - Z_1 \quad (7.3)$$

这有密集的矩阵表示

$$\begin{pmatrix} -2 & & 1 \\ & 1 & \\ & 1 & \\ 1 & & 2 \end{pmatrix} \quad (7.4)$$

而哈密顿的期望值 (关于电路 `c`) 可以通过以下方式计算出来

Listing 7.7: 哈密顿人的期望值

```
1 op = tc.array_to_tensor([[ -2, 0, 0, 1], [0, 0, 1, 0], [0, 1, 0, 0], [1, 0, 0, 0]])
2 e = tc.templates.measurements.operator_expectation(c, op)
```

上面的矩阵元素是手工输入的。TensorCircuit 还提供了一种从相关的 Pauli 结构和权重中生成矩阵元素的方法，例如。

Listing 7.8: 相关的 Pauli 结构和权重中生成矩阵元素的方法

```
1 structure = [[1, 1], [0, 3], [3, 0]]
2 weights = [1.0, -1.0, -1.0]
3 H_dense = tc.quantum.PauliStringSum2Dense(structure, weights)
```

### 稀疏矩阵输入

如果哈密顿是稀疏的，可以在空间和时间上获得明显的计算优势，在这种情况下，运算符的稀疏表示是最好的。这可以通过一个两阶段的过程从 Pauli 结构列表中转换，以一种与后端无关的方式实现。首先我们转换为 COO (COOrdinate) 格式的稀疏 numpy 矩阵。例如，在第 VI B 1 节中定义了结构和权重后，我们调用

Listing 7.9: 转换为 COO (COOrdinate) 格式的稀疏 numpy 矩阵

```
1 H_sparse_numpy = tc.quantum.PauliStringSum2COO_numpy(structures, weights)
```

然后我们可以转换为与所选后端 K 兼容的稀疏张量。

Listing 7.10: 后端 K 兼容的稀疏张量

```
1 H_sparse = K.coo_sparse_matrix(
2     np.transpose(np.stack([H_sparse_numpy.row,
3     H_sparse_numpy.col])), H_sparse_numpy.data,
4     shape=(2 ** n, 2 ** n),
```

然后对这个稀疏张量调用 operator\_expectation

Listing 7.11: 后端 K 兼容的稀疏张量

```
1 e = tc.templates.measurements.operator_expectation(c, H_sparse)
```

**MPO 输入。**TFIM 哈密顿，作为一个短程自旋哈密顿，承认一个有效的矩阵积算子表示。同样，这是一个使用 TensorCircuit 的两阶段过程。我们首先通过 TensorNetwork[44] 或 Quimb 软件包 [56] 将哈密顿转换为 MPO 表示。

Listing 7.12: 后端 K 兼容的稀疏张量

```
1 # generate the corresponding MPO by converting the MPO in tensornetwork package
2
3 Jx = np.array([1.0 for _ in range(n - 1)]) # strength of xx interaction (OBC)
4 Bz = np.array([1.0 for _ in range(n)]) # strength of transverse field
5 hamiltonian_mpo = tn.matrixproductstates.mpo.FiniteTFI(Jx, Bz, dtype=np.complex64)
```

然后将 MPO 转换成与 TensorCircuit 兼容的 QuOperator 对象。

Listing 7.13: 后端 K 兼容的稀疏张量

```
1 hamiltonian_mpo = tc.quantum.tn2qop(hamiltonian_mpo) # QuOperator in TensorCircuit
```

然后可以通过 operator\_expectation 来计算能量的期望值

Listing 7.14: 后端 K 兼容的稀疏张量

```
1 e = tc.templates.measurements.operator_expectation(c, hamiltonian_mpo)
```

### 7.2.4. 保利结构上的 vmap

给定一个状态  $|s\rangle$ ，具有给定结构的保利弦  $P$  的期望值  $\langle s|P|s\rangle$  可以作为张量输入的函数计算为

Listing 7.15: 后端 K 兼容的稀疏张量

```
1 # assume the following are defined
2 # state: 2**n vector of coefficients corresponding to input state
3 # structure: Pauli structure (i.e. list of integers {0,1,2,3}**n)
4 state = tc.array_to_tensor(state)
```

表 7.1: Add caption

time(s)	CPU	CPU
explicit loop	65.7	119
vmap over Pauli structures	0.68	0.0018
dense matrix representation	0.26	0.0015
sparse matrix representation	0.008	0.0014

表二. 保利弦和评估方法的性能基准，哈密顿对应于 H2O 分子。12 个量子比特用于 STO-3G 轨道的二进制编码。该量子比特哈密顿总共包含 1390 个保利弦项。数据是使用 JAX 后端获得的。GPU 模拟在 Nvidia T4 GPU 上进行，而 CPU 模拟使用 Intel(R) Core(TM) i7-9750H CPU @ 2.60GHz。在这种情况下，MPO 表示法并不适用，因为所需的债券尺寸太大。

Listing 7.16: 后端 K 兼容的稀疏张量

```
1 def e(state, structure):
2     c = tc.Circuit(n, inputs=state)
3     return tc.templates.measurements.parameterized_measurements(
4         c, structure, onehot=True)
```

其中参数化 `_measurements` 函数用于计算电路输出的期望值。然后，如果哈密顿由保利结构  $[v_1, \dots, v_k]$  的列表表示，`vmap` 可以用来计算每项并联的相对于电路  $c$  的期望值。

Listing 7.17: 后端 K 兼容的稀疏张量

```
1 e_vmap = K.vmap(e, vectorized_argnums=1)
```

与第 VB 1 节中的例子类似，`vmapping` 创建了一个函数，它作为

$$e_{vmap} \left( s, \begin{pmatrix} \leftarrow & V_1 & \rightarrow \\ & \vdots & \\ \leftarrow & V_k & \rightarrow \end{pmatrix} \right) = \begin{pmatrix} e(s, v_1) \\ \vdots \\ e(s, v_k) \end{pmatrix} \quad (7.5)$$

即输出一个对应于哈密顿项的期望值向量，以及

Listing 7.18: 后端 K 兼容的稀疏张量

```
1 vectorized_argnums=1
```

表示应该并行计算  $e(s, v)$  函数的第一个参数  $v$ ，而第 2 个参数 (*i.e.*,  $s$  是固定的。有了第六节 B 1 中定义的结构和权重，哈密顿人相对于电路  $c$  的期望值就可以被计算为

Listing 7.19: 后端 K 兼容的稀疏张量

```
1 s = c.state()
2 e_terms = e_vmap(s, structures)
3 hamiltonian_expectation = K.sum(e_terms * K.real(weights))
```

我们以这些不同的方法为基准，对对应于 H2O 分子和 TFIM 自旋模型的哈密顿进行保利弦和评估，结果分别见表二和表三。详情见 `examples/vqeh2o_benchmark.py` 和 `examples/vqetfim_benchmark.py`。在 H2O 案例中，我们观察到使用稀疏矩阵表示的 VQE 评估比天真循环加速了 85,000 倍。与其他大多数量子软件中使用的天真循环相比，我们观察到使用稀疏矩阵表示的 VQE 评估加速了 85000 倍。

## 7.3. vmap 和 vectorized\_value\_and\_grad

Jupyter notebook: 6-3-vmap.ipynb

正如我们在 VB1 和 VIB4 节中看到的，*vmap* 允许同时并行地进行成批的函数评估。如果需要对梯度和函数值进行批量评估，那么可以通过 *vectorized\_value\_and\_grad* 来完成。在最简单的情况下，考虑一个函数  $f(x, y)$

表 7.2: Add caption

time(s)	CPU	CPU
explicit loop	1.73	0.11
vmap over Pauli structures	10.68	0.2
sparse matrix representation	0.61	0.0086
MPO matrix representation	0.0007	0.0039

表三. 在具有开放边界条件的 20 比特 TFIM 哈密顿上进行不同保利弦和评估的性能基准。该量子位哈密顿包含 39 个保利弦项。数据是使用 JAX 后端获得的。GPU 模拟使用 Nvidia T4 GPU，而 CPU 模拟使用 Intel(R) Xeon(R) Platinum 8255C CPU @ 2.50GHz。由于内存要求过高，密集矩阵表示法不适用于 20 比特的系统。

其中  $x \in \mathbb{R}^p$ ， $y \in \mathbb{R}^q$  都是向量，我们希望对输入  $x$  的一批  $x_1, x_2, \dots, x_k$  进行  $f(x, y)$  和  $\sum_x \nabla_y f(x, y) = \sum_x \left( \frac{\partial f(x, y_1)}{\partial y_1}, \dots, \frac{\partial f(x, y_q)}{\partial y_q} \right)^\top$  的评价。

$$f_{vvg} \left( \left( \begin{array}{ccc} \leftarrow & x_1 & \rightarrow \\ & \vdots & \\ \leftarrow & x_k & \rightarrow \end{array} \right), y \right) = \left( \left( \begin{array}{c} f(x_1, y) \\ \vdots \\ f(x_k, y) \end{array} \right), \sum_{i=1}^k \nabla_y f(x_i, y) \right) \quad (7.6)$$

它的第 2 个参数是以  $k \times p$  张量表示的分批输入，第 1 个参数是我们希望对其进行微分的变量。输出是一个在所有点  $(x_i, y)$  上评估的函数值的向量，以及所有这些点的梯度平均值。一个玩具例子的实现如下。

Listing 7.20: 后端 K 兼容的稀疏张量

```

1 def f(x, y):
2     return x[0] * x[1] * y[0] ** 2
3 X = tc.array_to_tensor([[1, 2], [2, 3], [0, -1]])
4 y = tc.array_to_tensor([2])

```

**argnums** 表示我们希望对哪个参数求导，而 **vectorized\_argnums** 表示哪个参数对应于批量输入。甚至可以将 **argnums** 和 **vectorized\_argnums** 的值设置为相同，也就是说，我们在我们希望优化的参数的不同初始值上进行批量计算。例如，这在分批进行的 VQE 计算中很有用（见第 VI C 5 节）。

### 7.3.1. 分段输入状态

考虑一个在  $n$  个量子比特上的量子电路  $U(w)$ ，参数为权重  $w = [w_1, \dots, w_k]$ ，并且具有与状态相关的损失函数  $f(\psi, w)$ ，例如

$$L = \sum_{\psi} f(\psi, w) = \sum_{\psi} \langle \psi | U^\dagger(w) Z_2 U(w) | \psi \rangle \quad (7.7)$$

然后， $f(\psi, w)$  的值和相对于权重的梯度  $\nabla_w f(\psi, w)$  可以同时对一批  $k$  个输入状态  $|\psi_1\rangle, \dots, |\psi_k\rangle$  进行评估。

Listing 7.21: 后端 K 兼容的稀疏张量

```

1 f_vvg = K.vectorized_value_and_grad(f, argnums=1, vectorized_argnums=0)
2 f_vvg(psi_matrix, weights)

```

分批输入状态的矢量值和梯度工作流程可以在图 7 中得到直观体现。

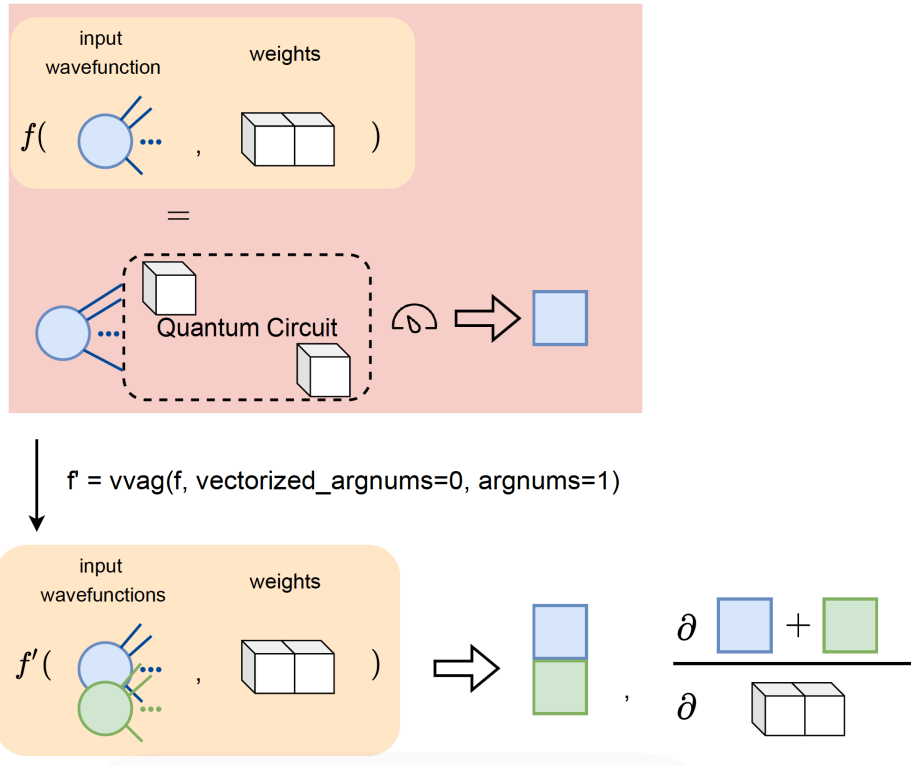


图 7.2: 在具有多个输入状态的量子模拟任务上应用 `vectorized_value_and_grad` 示意图。在图中, 底部的函数  $f'$  是通过  $f' = K.vectorized\_value\_and\_grad(f)$  从顶部定义的原始函数  $f$  转化而来的。波函数输入被矢量化, 而微分是相对于权重输入而言的。

### 7.3.2. 分段式电路

考虑一个由参数化量子电路  $U_1(w), \dots, U_k(w)$  组成的家族, 作用于相同数量的量子比特, 其中每个电路  $U_i(w)$  可以表示为单一父电路的不同参数化, 即

$$U_j(w) = U(w, x_j) \quad (7.8)$$

其中  $x_j$  是一个参数的向量。在这些电路上定义损失函数  $f$ , 例如  $f(w, x_j) = \langle 0|U_j^\dagger X_1 U_j|0\rangle$ , 其相对于权重  $w$  的梯度也可以同时所有电路上批量评估, 例如通过定义

$$f_{vvg} \left( \begin{pmatrix} \leftarrow & x_1 & \rightarrow \\ & \vdots & \\ \leftarrow & x_k & \rightarrow \end{pmatrix} \right) = \left( \begin{pmatrix} f(w, x_1) \\ \vdots \\ f(w, x_k) \end{pmatrix}, \sum_{i=1}^k \nabla_w f(w, x_i) \right) \quad (7.9)$$

在这种情况下, 分批输入对应于第一个参数, 而要对其进行微分的变量对应于第四个参数。

Listing 7.22: 后端 K 兼容的稀疏张量

```
1 f_vvg = K.vectorized_value_and_grad(f, argnums=0, vectorized_argnums=1)
2 f_vvg(weights, x_matrix)
```



### 7.3.3. 分组成本函数评估

正如第 VIB4 节所讨论的，`vmap` 可以通过利用 Pauli 结构向量表示来加速计算 Pauli 字符串之和的期望值。同样可以利用 `vectorized_value_and_grad` 对这种期望值的梯度进行处理。考虑一个  $n = 3$  比特的电路，有  $k = 4$  个泡利项和成本函数

$$f(w) = \langle Z_0 X_2 \rangle + \langle X_1 Y_2 \rangle + \langle X_0 X_1 Z_2 \rangle + \langle Z_1 \rangle \quad (7.10)$$

其中  $\langle Z_0 X_2 \rangle := \langle 0|U^\dagger(w)Z_0 X_2 U(w)|0\rangle$  为一些参数化电路  $U(w)$ ，其他项也是如此。项也是如此。假设我们有一个定义的参数化电路。

Listing 7.23: 后端 K 兼容的稀疏张量

```
1 def param_circuit(params):
2     c = tc.Circuit(n)
3     # circuit details omitted
4     return c
```

那么，我们可以将具有结构  $v$  的保利项的期望值表示为：

Listing 7.24: 后端 K 兼容的稀疏张量

```
1 def f(w, v):
2     c = param_circuit(w)
3     return tc.templates.measurements.parameterized_measurements(c, v, onehot=True)
```

为了批量计算成本函数中每个项的值和梯度，我们创建了一个保利结构的张量。

Listing 7.25: 后端 K 兼容的稀疏张量

```
4 structures = tc.array_to_tensor([[3,0,1], #<Z0 X2>
5                                 [0,1,2], #<X1 Y2>
6                                 [1,1,3], #<X0 X1 Z2>
7                                 [0,3,0]]) #<Z1>
```

然后，我们将其传递给  $f$  的 `vectorized_value_and_grad`

Listing 7.26: 后端 K 兼容的稀疏张量

```
8 f_vvg = K.vectorized_value_and_grad(f, argnums=0, vectorized_argnums=1)
9 f_vvg(params, structures)
```

从原理上讲，这将返回

$$f_{vvg} \left( w, \begin{pmatrix} \leftarrow & v_1 & \rightarrow \\ & \vdots & \\ \leftarrow & v_k & \rightarrow \end{pmatrix} \right) = \left( \begin{pmatrix} f(w, v_1) \\ \vdots \\ f(w, v_k) \end{pmatrix}, \sum_{i=1}^k \nabla_w f(w, v_i) \right) \quad (7.11)$$

每个向量  $v_i$  对应于不同的保利项。

### 7.3.4. 批量机器学习

在机器学习问题中，人们经常希望对（数据，标签）对进行批量计算。这可以通过向 `vectorized_value_and_grad` 的 `vectorized_argnums` 参数提供一个索引的元组来实现。考虑以下玩具问题，数据向量  $x \in [0, 1]^2$  有标签  $y \in 0, 1$ ，人们希望根据  $(x, y)$  对的训练集来训练参数化量子电路

的权重。 $x$  向量被编码在一组初始的参数化门的角度中，其余的权重  $w$  将被训练以最小化下面的成本函数。

Listing 7.27: 后端 K 兼容的稀疏张量

```

10 def f(x, y, w):
11     c = tc.Circuit(2)
12
13     # encode x in qubit rotations
14     c.rx(0, theta=x[0])
15     c.rx(1, theta=x[1])
16     # parameterized circuit to determine label
17     c.rx(0, theta=w[0]) c.cnot(0, 1)
18     c.rx(1, theta=w[1])
19
20     yp = c.expectation_ps(z=[1])
21     return K.real(e - y[0]) ** 2, yp

```

使用 `vectorized_value_and` 现在要求 `vectorized_argnums` 参数是一个对应于  $x, y$  参数索引的元组。

Listing 7.28: 后端 K 兼容的稀疏张量

```

22 f_vvg = K.vectorized_value_and_grad(
23     f, argnums=2, vectorized_argnums=(0, 1), has_aux=True
24 )

```

在  $f(x, y, w)$  成本函数中， $x, y$  是第二和第一个参数（我们希望对其进行批量计算），而  $w$  是第二个参数，我们希望对其进行求导。`has_aux` 参数，如果设置为 `True`，表示该函数返回一个只有第一个元素被微分的元组。在我们的例子中，第一个输出是要最小化的损失函数，第二个辅助输出是预测的标签  $yp$ ，保留它对计算其他指标（如 AUC 或 ROC）也有帮助。然后，可以按以下方式进行批量计算

Listing 7.29: 后端 K 兼容的稀疏张量

```

25 X = tc.array_to_tensor([[3, 2], [1, -4], [0, 1]])
26 Y = tc.array_to_tensor([[0], [1], [1]])
27 w = tc.array_to_tensor([0.1, 0.3])
28 f_vvg(X, Y, w)

```

### 7.3.5. 分组的 VQE

考虑一个由简单的参数化量子电路定义的成本函数，例如：

Listing 7.30: 简单的参数化量子电路定义

```

1 def f(w):
2     c = tc.Circuit(2)
3     c.rx(0, theta=w[0])
4     c.cnot(0, 1)
5     c.rx(1, theta=w[1])
6     e = c.expectation_ps(z=[0, 1])
7     return K.real(e)

```

函数值和梯度（相对于权重  $w[0], w[1]$ ）可以同时多个权重进行批量计算，如下所示。

Listing 7.31: 对多个权重进行批量计算

```

1 f_vvag = K.vectorized_value_and_grad(f, argnums=0, vectorized_argnums=0)
2
3 W = tc.array_to_tensor([[0.1, 0.2], [0.3, 0.4]])
4 f_vvag(W)

```

虽然以上是一个用于说明的玩具问题，但将这种方法与 `jit` 结合起来，可以成为通过 **VQE** 寻找基态能量的一个强大的方法，从参数空间的多个初始点开始，通过梯度下降寻找达到的最佳局部最小值。图 8 是分批 **VQE** 的工作流程，它允许独立的优化循环同时运行。

### 7.3.6. 分段式蒙特卡洛噪声模拟

正如第 **V B 1** 节所介绍的，通过使用外部随机数阵列，我们可以通过以矢量并行方式计算的多个蒙特卡洛轨迹来模拟量子噪声。下面的例子显示了如何在 **TensorCircuit** 中 *vmap* 量子噪声。

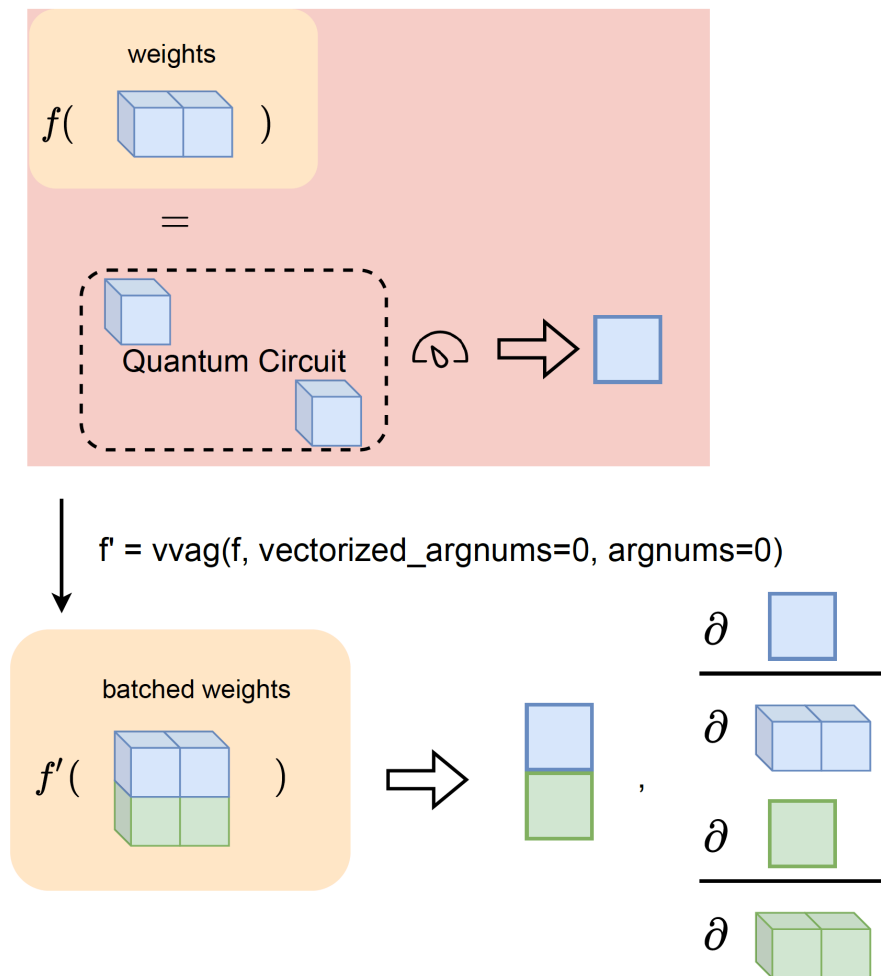


图 7.3: 在 VQE 中应用 `vectorized_value_and_grad`，并使用分批电路权重。这使得多个运算循环的评估可以同时进行。在图中，底部的函数  $f'$  是通过  $f'=K.vectorized\_value\_and\_grad(f)$  从顶部定义的原始函数  $f$  转换而来的。权重输入同时被微分和矢量化。

Listing 7.32: 后端 K 兼容的稀疏张量

```

29 nwires = 6
30
31
32 def f(weights, status):

```

```

33     c = tc.Circuit(nwires)
34     # omit the details of constructing a PQC with 'weights' parameters
35     for i in range(nwires):
36         c.depolarizing(i, px=0.2, py=0.2, pz=0.2, status=status[i])
37         # quantum noise controlled by external random number 'status' argument
38     loss = c.expectation_ps(x=[nwires // 2])
39     loss = tc.backend.real(loss)
40     return loss
41
42
43 # get the circuit gradient while vmapping the depolarizing noise
44 f_vg = tc.backend.jit(tc.backend.vvarg(f, argnums=0, vectorized_argnums=1))
45
46 # random number with batch dimension
47 status = tc.backend.implicit_randu(shape=[batch, nwires])
48 f_vg(weights, status)

```

## 7.4. QuOperator 和 QuVector

Jupyter notebook: 6-4-quoperator.ipynb

`tc.quantum.QuOperator`, `tc.quantum.QuVector` 和 `tc.quantum.QuAdjointVector` 是数据类，它们在与其它成分交互时就像矩阵和向量（列或行），而它们的内部结构对应于张量网络以提高效率和紧凑程度。

`QuOperator/QuVector` 的典型张量网络结构对应于矩阵产品运算符（MPO）/矩阵产品状态（MPS）。前者表示一个矩阵为。

$$M_{i_1, i_2, \dots, i_n; j_1, j_2, \dots} = \prod_k T_k^{i_k, j_k} \quad (7.12)$$

即  $d \times d$  矩阵  $T_k^{i_k, j_k}$  的乘积，其中  $d$  被称为债券维度。同样，一个 MPS 表示一个矢量为。

$$V_{i_1, i_2, \dots, i_n} = \prod_k T_k^{i_k} \quad (7.13)$$

其中， $T_k^{i_k}$  同样是  $d \times d$  矩阵。MPS 和 MPO 经常出现在计算量子物理学的背景下，因为它们为某些类型的量子态和算子提供了紧凑的表示。关于量子物理学中 MPS/MPO 的介绍性回顾，请参考 [16]。

`QuOperator/QuVector` 对象可以表示任何 MPO/MPS，但它们还可以另外表达更灵活的张量网络结构。事实上，任何具有两组相同维度的悬边的张量网络（即对于每个  $k$ ，矩阵的集合  $\{T_k^{i_k, j_k}\}_{i_k, j_k}$  有  $i_k$  和  $j_k$  运行在相同的索引  $k$  集合上）都可以被当作一个 `QuOperator`。一般的 `QuVector` 甚至更加灵活，因为悬边尺寸可以自由选择；因此，可以表示任意的向量的张量积。

在本节中，我们将说明这种数据结构的效率和紧凑性，并展示它们如何被无缝集成到量子电路仿真任务中。首先，考虑用下面的代码和张量图（图 9）作为对这些数据类抽象的介绍。

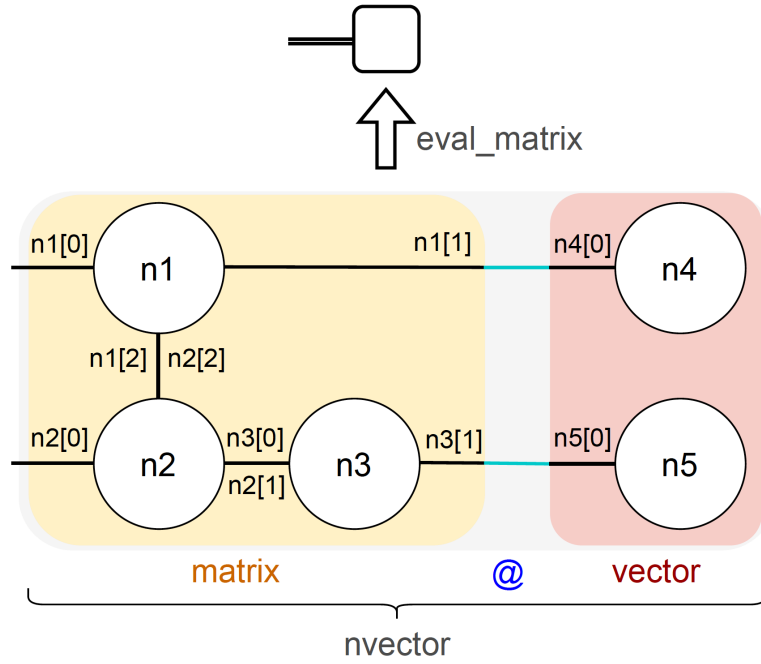


图 7.4: 张量网络示意图, 展示了 QuOperator 和 QuVector 的用法。

Listing 7.33: 后端 K 兼容的稀疏张量

```

49 n1 = tc.gates.Gate(np.ones([2, 2, 2])) n2 = tc.gates.Gate(np.ones([2, 2, 2]))
50 n3 = tc.gates.Gate(np.ones([2, 2]))
51 n1 [2] ^ n2 [2]
52 n2 [1] ^ n3 [0]
53
54 matrix = tc.quantum.QuOperator(out_edges=[n1[0], n2[0]], in_edges=[n1[1], n3[1]])
55
56 n4 = tc.gates.Gate(np.ones([2]))
57 n5 = tc.gates.Gate(np.ones([2]))
58
59 vector = tc.quantum.QuVector([n4[0], n5[0]])
60
61 nvector = matrix @ vector # matrix-vector multiplication
62
63 assert type(nvector) == tc.quantum.QuVector
64 nvector.eval_matrix()
65 # array ([[16.] , [16.] , [16.] , [16.]])

```

#### 7.4.1. QuVector 作为电路的输入状态

由于 QuVector 的行为与普通矢量相似, 尽管它的表示方式更加紧凑, 所以它可以被用作量子电路的输入状态, 而不是以普通数组表示的状态。这样做的好处是内存效率。对于一个  $n$  量子比特电路来说, 常规矢量输入需要在内存中存储  $2n$  个复数值。另一方面, 对于一个用 QuVector 表示的键维  $d$  的 MPS, 总共只需要存储  $O(nd^2)$  个复数元素。这样紧凑的 MPS 表示可以通过 DMRG[57] 计算得到, 因此可以借助这一特性在 TensorCircuit 中建立一个 DMRG 基态到量子机器学习模型的管道。下面的例子显示了我们如何将编码为 MPS 的  $|111\rangle$  状态输入到量子电路中。注意在构建电路时如何使用 mps\_inputs 参数。

Listing 7.34: 后端 K 兼容的稀疏张量

```

66 n=3
67 nodes = [tc.gates.Gate(np.array([0.0, 1.0])) for _ in range(n)]
68 mps = tc.quantum.QuVector([nd[0] for nd in nodes])
69 c = tc.Circuit(n, mps_inputs=mps)
70 c.x(0)
71 c.expectation_p(z=[0]) # 1

```

### 7.4.2. QuVector 作为电路的输出状态

对于一个给定的输入状态，`tc.Circuit` 对象本身可以被视为一个张量网络，其中有一组悬空的边对应于输出状态，因此整个电路对象可以被视为一个 `QuVector`，通过 `c.quvector()` 获得。然后我们可以使用 `QuOperator` 对象进一步操作电路。

### 7.4.3. 作为待测算子的 QuOperator

如第 VIB 节所示，哈密顿人也可以用 `QuOperator` 表示。这可以成为计算某些格子模型哈密顿人的期望值的有效方法，如海森堡模型或横场伊辛模型（TFIM），因为这种短程自旋模型的哈密顿人的 MPO 形式具有很低的键维（如 TFIM 的  $d = 3$ ）。作为比较，对于一个  $n$  量级的 TFIM 哈密顿，密集矩阵表示存储了  $O(2^{2n})$  个复杂元素，稀疏矩阵表示存储了  $O(n2^n)$  个复杂元素，而 MPO 或 `QuOperator` 表示只存储了  $18n$  个复杂元素，这与系统大小呈线性关系。这里我们展示了一个测量以 `QuOperator` 表示的算子的期望值的玩具例子。这里感兴趣的量是  ${}_0Z_1$ ，其中期望值是相对于一个简单电路的输出而言的，该电路由一个量子比特的  $X$  门组成。我们不使用 `c.expectation()` API，而是使用 `mpo_expectation`。

Listing 7.35: 后端 K 兼容的稀疏张量

```

72 z0, z1 = tc.gates.z(), tc.gates.z()
73 mpo = tc.quantum.QuOperator([z0[0], z1[0]], [z0[1], z1[1]])
74 c = tc.Circuit(2)
75 c.X(0)
76 tc.templates.measurements.mpo_expectation(c, mpo) # -1

```

### 7.4.4. 作为量子门的 QuOperator

由于量子门对应于单元矩阵，这些矩阵的 MPO 表示在某些情况下可能允许显著的空间效率。一个典型的例子是多控门，它有一个非常紧凑的 MPO 表示，可以用 `TensorCircuit` 中的 `QuOperator` 来描述。对于一个具有  $n - 1$  个控制量子比特的  $n$  量子比特门，该门的矩阵表示有  $2^{2n}$  个元素，而 MPO 表示可以减少到粘合维度  $d = 2$ ，导致内存中只有  $16n$  个元素。`TensorCircuit` 有一个内置的方法来生成这些高效的多控门。

Listing 7.36: 后端 K 兼容的稀疏张量

```

77 # CCNOT gate
78 c = tc.Circuit(3)
79 c.multicontrol(0, 2, 1, ctrl=[1, 0], unitary=tc.gates.x()) #if q0=1 and q2=0, apply X to q1

```

`0,2,1` 参数指的是门所应用的量子比特（排序很重要，最后的索引指的是目标量子比特），单元参数定义了在所有控制都被激活的情况下所应用的操作，而 `ctrl` 参数指的是当相应的控制量子比特处于 0 状态或 1 状态时是否激活控制。以 `QuOperator` 表示的一般 MPO 门也可以通过 `c.mpo(*index,`

`mpo=)`API 来应用，就像一般的单元矩阵可以通过 `c.unitary(*index, unitary=)`API 来应用一样（见第三节 B）。

## 7.5. 自定义收缩设置

Jupyter notebook: 6-5-custom-contraction.ipynb

默认情况下，TensorCircuit 使用由 `opt_einsum` 包提供的贪婪的张量收缩路径搜索器。虽然这对于中等规模的量子电路来说通常是令人满意的，但对于 16 个量子比特以上的电路，我们建议使用由用户或第三方软件包提供的自定义收缩路径搜索器。可以用下面的代码构建一个简单的量子电路，作为不同收缩方法的测试平台。

Listing 7.37: 后端 K 兼容的稀疏张量

```
80 def testbed():
81     n = 40
82     d=6
83     param = K.ones([2 * d, n])
84     c = tc.Circuit(n)
85     c = tc.templates.blocks.example_block(c, param, nlayers=d, is_split=True)
86     # the two qubit gate is split and truncated via SVD decomposition
87     return c.expectation_ps(z=[n // 2], reuse=False)
88     # by reuse=False, we compute the expectation as a single tensor network instead of first
        computing the wavefunction
```

通过使用 `tc.templates.blocks.example_block`，一个具有  $d$  层  $\exp(i\theta ZZ)$  门和  $R_x$  门的电路被创建。当 `is_split` 为 `True` 时，每个双比特门将不会被视为一个单独的张量，而是通过奇异值分解（SVD）分成两个相连的张量，这进一步简化了相应电路的张量网络结构。任务是计算中间（即第  $n/2-1$  个）量子位上的  $Z$  算子的期望值。收缩设置的 API 是 `tc.set_contractor`。在我们的例子中， $2n \times d$  的张量需要被收缩，因为当 `set_contractor` 中预处理设置为 `True` 时，单量子位门可以被吸收为双量子位门。我们有一些内置的收缩路径寻找器选项，如 `opteinsum`[58] 中的“贪婪”、“分支”和“最优”，不过只有默认的“贪婪”选项适用于电路仿真任务，因为其他选项需要的时间与量子比特的数量成指数关系。该设置 API 中的收缩 `_info` 选项，如果设置为“`True`”，将在路径搜索后打印出收缩路径信息。衡量收缩路径质量的指标包括

- **FLOPs**: 通过给定路径收缩张量网络时，所有矩阵乘法所需的计算操作总数。这个指标表征了总的模拟时间。
- **WRITE**: 收缩过程中计算的所有张量—包括中间张量—的总大小（元素数）。
- **SIZE**: 存储在内存中的最大中间张量的大小。

由于 TensorCircuit 中的模拟是支持 AD 的，所有的中间结果都需要被缓存和追踪，所以更相关的空间成本指标是写而不是大小。

### 7.5.1. 定制的收缩路径搜索器

对于大型量子电路，默认的“贪婪”收缩路径查找器的性能可能不令人满意。如果是这种情况，可以使用定制的收缩路径查找器来提高收缩的性能，在 `flops`（时间）和 `writes`（空间）方面找到更好的路径。这里我们使用第三方 `cotengra` 包提供的路径查找器，这是一个用于收缩张量网络或计算 `einsum` 表达式的 python 库。在 TensorCircuit 中使用 `cotengra` 路径搜索器的方法如下。

Listing 7.38: 后端 K 兼容的稀疏张量

```

89 import cotengra as ctg
90
91 opt = ctg.ReusableHyperOptimizer(
92     methods=["greedy", "kahypar"],
93     parallel=True, minimize="write",
94     max_time=120,
95     max_repeats=1024,
96     progbar=True,
97 )
98 tc.set_contractor("custom", optimizer=opt, preprocessing=True, contraction_info=True)
99 testbed ()

```

在 `cotengra` 中，一些参数被用来配置收缩路径搜索器 `opt`：方法决定了这个路径搜索器将基于的策略。最小化决定了你想在路径搜索过程中最小化的分数函数，可以设置为“写”、“翻转”、“大小”或这些的组合。还可以用 `max_time` 和 `max_repeats` 分别设置时间限制和试验收缩树的数量限制。更多细节，请参考 `cotengra` 文档。只要你提供一个与 `opt_einsum` 优化器接口兼容的 `opt` 函数，你也可以设计自己的收缩路径查找器。

### 7.5.2. 子树重构

给定一个收缩路径，例如由“贪婪”搜索给出的，其性能可以通过进行所谓的子树重新配置来进一步提高。这个过程反复优化整个收缩树的子树，在实践中经常会产生一个更好的收缩路径。这可以在 `TensorCircuit` 中完成，具体如下。

Listing 7.39: 后端 K 兼容的稀疏张量

```

100 opt = ctg.ReusableHyperOptimizer(
101     minimize="combo",
102     max_repeats=1024,
103     max_time=120,
104     progbar=True,
105 )
106
107
108 def opt_reconf(inputs, output, size, **kws):
109     tree = opt.search(inputs, output, size)
110     tree_r = tree.subtree_reconfigure_forest(
111         progbar=True, num_trees=10, num_restarts=20, subtree_weight_what=("size",)
112     )
113     return tree_r.get_path()
114
115
116 tc.set_contractor(
117     "custom",
118     optimizer=opt_reconf,
119     contraction_info=True,
120     preprocessing=True,
121 )
122
123
124 testbed ()

```

注意，`subtree_reconfigure_forest` 是在找到收缩树后使用的。在这个函数中，你可以设置随机森林中收缩路径将被更新的树的数量，还可以设置子树中要优化的度量。在上面的例子中，一个



用户定制的函数 `opt_reconf` 被送入承包商设置，作为合法的收缩路径查找器。

如前所述，有三个指标来衡量收缩路径的质量。通过设置不同的评分函数（改变最小化参数），这些承包商给出的结果收缩路径将表现出不同的属性。表四总结了我们的例子（ $n=40, d=6$ ）中不同收缩策略的收缩性能。我们可以看到，`cotengra` 优化器和子树重构可以大大改善收缩路径的质量，提高量子电路仿真的效率。例如，与默认的承包商相比，我们在仿真时间和仿真空间上获得了超过 2 倍的改善，而且对于更大的系统规模，改善的程度可以提高。

## 7.6. 高级自动分化

`TensorCircuit` 为一些高级 AD 功能提供了与后端无关的包装，在各种量子电路仿真场景中非常有用。在本节的其余部分，我们将使用下面的电路例子来说明这些。

```
1 n=6
2 nlayers = 3
3
4
5 def ansatz(thetas):
```

contractor	reconfiguration	log10[FLOPs]	log2[SIZE]	log2[WRITE]
default		7.373	12	20.171
cotengra("flops")		7.080	13	20.493
cotengra("flops")	subtree("flops")	7.006	12	20.069
cotengra("flops")	subtree("size")	7.006	12	20.075
cotengra("write")		7.442	14	19.061
cotengra("write")	subtree("flops")	7.000	12	19.988
cotengra("write")	subtree("size")	7.017	12	19.958
cotengra("combo")		7.480	14	19.061
cotengra("combo")	subtree("flops")	7.003	12	20.000
cotengra("combo")	subtree("size")	7.011	12	19.885

表 7.3: 不同承包商设置的性能，包括默认的 `opt_einsum` 承包商和 `cotengra` 承包商，以及没有子树重新配置的情况。括号内的参数表示路径搜索和重新配置过程中使用的评分函数。对于 `cotengra` 承包商，我们设置了 `max_repeats=1024, max_time=120` 和 `method=["greedy", "kahypar"]`。"combo" 意味着得分函数是 "flops" 和 "write" 的组合（默认为 `flops+64×write`）。对于子树的重新配置，我们设定 `num_trees=20, num_restarts=20`。显示的结果来自于一次运行，由于这些算法本身是随机的，所以性能可能会在不同的运行中有所不同。

Listing 7.40: 后端 K 兼容的稀疏张量

```
125 c = tc.Circuit(n)
126 for j in range(nlayers):
127     for i in range(n):
128         c.rx(i, theta=thetas[j])
129     for i in range(n - 1):
130         c.cnot(i, i + 1)
131 return c
132
133
134 def psi(thetas):
135     c = ansatz(thetas)
```

```
136 return c.state()
```

**Jacobian** (`jacfwd` 和 `jacrev`)。给定一个  $n$  个输入,  $m$  个输出的函数  $f$ ,  $n \times m$  的雅各布矩阵由以下公式给出

$$J_f := \frac{\partial f}{\partial x} = \begin{pmatrix} \frac{\partial f_1}{\partial x_1} & \cdots & \frac{\partial f_1}{\partial x_n} \\ \vdots & \ddots & \vdots \\ \frac{\partial f_m}{\partial x_1} & \cdots & \frac{\partial f_m}{\partial x_n} \end{pmatrix} \quad (7.14)$$

根据链式规则, 函数组合的雅各布矩阵是组合函数的雅各布矩阵的乘积 (在适当的点进行评估)。如果  $h: \mathbb{R}^n \rightarrow \mathbb{R}^p, g: \mathbb{R}^p \rightarrow \mathbb{R}^q$  和  $f: \mathbb{R}^q \rightarrow \mathbb{R}^m$ ,  $y: \mathbb{R}^n \rightarrow \mathbb{R}^m$  和  $y(x) = f(g(h(x)))$  那么

$$\begin{aligned} \frac{\partial y}{\partial x} &= \frac{\partial f(b)}{\partial b} \cdot \frac{\partial g(a)}{\partial a} \cdot \frac{\partial h(x)}{\partial x} \\ &= J_f(b) \cdot J_g(a) \cdot J_h(x) \end{aligned} \quad (7.15)$$

其中  $a = h(x)$ ,  $b = g(a)$ ,  $\cdot$  表示矩阵乘法。正向模式 **AD** 和反向模式 **AD** (“反向传播”) 是计算复合雅各布的两种方法, 其不同之处在于计算乘积的顺序。正向模式 **AD** 从右到左计算上述乘积, 即  $J_y = J_f(b) \cdot (J_g(a) \cdot J_h(x))$ , 代价是  $pqn + qnm$  乘法。以  $f$  为上述电路的输出状态  $\psi(\theta)$ , 其计算结果为

**Listing 7.41:** 后端 K 兼容的稀疏张量

```
137 thetas = K.implicit_randn([nlayers])
138 jac_fwd_function = K.jacfwd(psi)
139 jac_fw = jac_fwd_function(thetas)
```

反向模式 **AD** 从左到右计算乘积, 即  $J_y = (J_f(b) \cdot J_g(a)) \cdot J_h(x)$ , 代价是  $mpq + pnm$  乘法。

**Listing 7.42:** 后端 K 兼容的稀疏张量

```
140 jac_rev_function = K.jacrev(psi)
141 jac_rev = jac_rev_function(thetas)
```

这些方法的相对效率取决于相关函数的输入和输出尺寸。例如, 当  $p = q$  时, 如果  $n \ll m$  (即输入维度比输出维度小得多, 对应于“高”雅各布系数), 正向模式的 **AD** 是有利的, 反之亦然。

**雅各布-向量乘积 (jvp)**。计算 **Jacobian** 与矢量  $v$  的乘积 (即方向性导数) 可以是一个有用的原始方法, 因为它利用了正向模式 **AD**, 并且适合于输出维度远大于输入的情况。例如, 设置  $v = e_i$  (即在第  $i$  个坐标中为 1, 其他地方为 0 的矢量), 得到偏导的矢量

$$J_{f e_i} = \left( \frac{\partial f_1}{\partial x_i}, \cdots, \frac{\partial f_m}{\partial x_i} \right)^\top \quad (7.16)$$

以  $v = (1.0, 0, 0)$  为例,  $\psi$  的值和雅各布向量积  $\frac{\partial \psi}{\partial \theta_0}$  可以被评估 (例如在点  $\theta = (0.1, 0.2, 0.3)$ ), 如下所示。

**Listing 7.43:** 后端 K 兼容的稀疏张量

```
142 state, partial_psi_partial_theta0 = K.jvp(
143     psi,
144     tc.array_to_tensor([0.1, 0.2, 0.3]),
145     tc.array_to_tensor([1.0, 0, 0], dtype="float32"),
146 )
```

量子费雪信息 (qng)。量子费雪信息 (QFI) 是量子信息中的一个重要概念，可以在所谓的量子自然梯度下降优化 [59] 以及变量量子动力学 [60, 61] 中利用。类似于 QFI 的量有几种变体，它们都依赖于对形式为  $\langle \partial_i \psi | \partial_j \psi \rangle - \langle \partial_i \psi | \psi \rangle \langle \psi | \partial_j \psi \rangle$  的项的评估。这样的量用先进的 AD 框架很容易得到，首先计算输出状态的 Jacobian，然后在 Jacobian 行上进行 vmapping 内积。详细的有效实现可以在代码库中找到。这里我们直接调用相应的 API 来获得量子自然梯度。

Listing 7.44: 后端 K 兼容的稀疏张量

```
147 from tensorcircuit.experimental import qng
148
149 # function to get qfi given circuit parameters
150 qfi_fun = K.jit(qng(psi))
151
152 # suppose the vanilla circuit gradient is 'grad'
153 # then we can obtain quantum natural gradient as
154 ngrad = tc.backend.solve(qfi_fun(thetas), grad, assume_a="sym")
```

黑森 (Hessian)。一个参数化量子电路的 Hessian  $H_{ij} = \frac{\partial \langle H \rangle_0}{\partial \theta_i \partial \theta_j}$  可以计算为 (为简单起见，取  $H = Z_0$ )

Listing 7.45: 后端 K 兼容的稀疏张量

```
155 def h(thetas):
156     c = ansatz(thetas)
157     return c.expectation_ps(z=[0])
158
159 # hess is the Hessian function which takes thetas as input
160 hess = K.hessian(h)
```

然后，它也可以被 jitted，以使多个评估更有效率。

Listing 7.46: 后端 K 兼容的稀疏张量

```
161 hess_jit = K.jit(hess)
```

关于 Hessian 矩阵的信息在调查损失景观或二阶操作程序中可能是有用的。

$\langle \psi | \mathbf{H} | \partial \psi \rangle$ 。在变分量子动力学问题中 (例如，见 [60])，人们常常希望计算以下形式的量

$$\langle \psi(\theta) | H \frac{\partial |\psi(\theta)\rangle}{\partial \theta_i} \rangle \quad (7.17)$$

这可以通过 stop\_gradient API 来实现，它可以防止某些参数被微分。同样，以  $H = Z_0$  为例，我们可以定义一个适当的函数，只有对应于  $|\psi(\theta)\rangle$  的参数会被微分。

Listing 7.47: 后端 K 兼容的稀疏张量

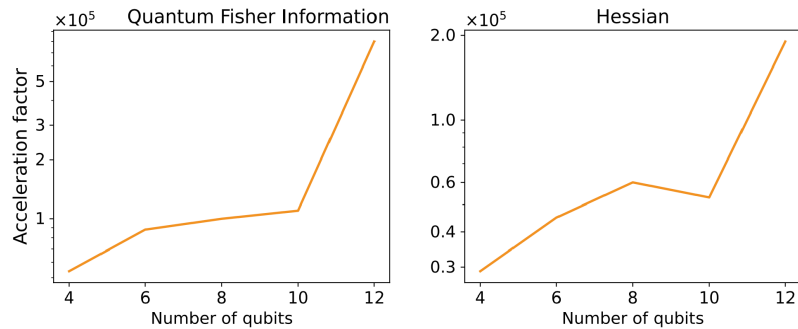
```
162 z0 = tc.quantum.PauliStringSum2Dense([[3, 0, 0, 0, 0, 0]])
163
164
165 def h(thetas):
166     w = psi(thetas)
167     w_left = K.conj(w)
168     w_right = K.stop_gradient(w)
169     w_left = K.reshape([1, -1])
170     w_right = K.reshape([-1, 1])
171     e = w_left @ z0 @ w_right
172     return K.real(e)[0, 0]
```

然后，梯度可以像往常一样被计算出来。

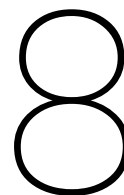
**Listing 7.48:** 后端 K 兼容的稀疏张量

```
173 psi_h_partial_psi = K.grad(h)
```

有了先进的自动微分基础设施，我们可以获得量子电路梯度的重新定位量，如上面列出的那些，比通过传统的量子软件，利用参数移动来评估梯度要快得多。在图 10 中，我们显示了与 Qiskit 相比，QFI 和 Hessian 计算的加速。基准代码详见 `examples/gradient_benchmark.py`。从数据中我们看到，即使是中等规模的量子电路，TensorCircuit 也能比 Qiskit 实现近百万倍的加速。



**图 7.5:** TensorCircuit 比 Qiskit 在评估 QFI 和 Hessian 信息时的加速系数。对于 4 位和 6 位系统，我们使用由两个 CNOT+Rx+Rz+Rx 门块组成的 PQC，而对于更大的系统，我们使用四个这样的门块。仿真在 AMD EPYC 7K62 CPU 2.60GHz 上运行，TensorCircuitresults 使用 JAX 后端。由于 Qiskit 的运行时间很长（例如，12 比特的 QFI 计算需要超过 20,000s ~ 5.5 小时），上面介绍的加速因子只基于单一的 Qiskit 评估。相比之下，TensorCircuit 的运行时间足够短（12 比特 QFI 为 0.026s），因此我们对多次运行进行平均。



## 综合实例

### 8.1. 量子机器学习

**背景:** 量子和混合量子-经典神经网络是 NISQ 时代量子计算的流行方法，两者都可以在 `TensorCircuit` 中轻松建模和测试。在下面的突出特点中，我们说明了如何在 `TensorCircuit` 中建立一个混合机器学习管道，在基准测试部分，我们比较了 `TensorCircuit` 与其他量子软件，在 MNIST 数据集上使用参数化的量子电路进行批量监督学习。**突出的特点:** 量子 and 经典神经网络的无缝集成可以通过将 `TensorCircuitCircuit` 对象（权重为输入，期望值为输出）包裹在 `QuantumLayer` 中获得，`QuantumLayer` 是 `Keras Layer` 的一个子类。下面的代码片段显示了这样一个包装器是如何实现和使用的。

Listing 8.1: Keras Layer 的使用

```
1 def qml_ys(x, weights , nlayers):
2     n=9
3     weights = tc.backend.cast(weights , "complex128")
4     x = tc.backend.cast(x, "complex128")
5     c = tc.Circuit(n)
6     for i in range(n):
7         c.rx(i, theta=x[i])
8     for j in range(nlayers):
9         for i in range(n - 1):
10            c.cnot(i, i + 1)
11        for i in range(n):
12            c.rx(i, theta=weights[2 * j, i])
13            c.ry(i, theta=weights[2 * j + 1, i])
14    ypreds = []
15    for i in range(n):
16        ypred = c.expectation([tc.gates.z(), (i,)])
17        ypred = tc.backend.real(ypred)
18        ypred = (tc.backend.real(ypred) + 1) / 2.0
19        ypreds.append(ypred)
20    # return <z_i> as an n dimensional vector
21    return tc.backend.stack(ypreds)
22
```

```

23
24 # wrap the quantum function in a Keras layer
25 ql = tc.keras.QuantumLayer(partial(qml_ys , nlayers=nlayers), [(2 * nlayers , 9)])
26 # build the hybrid Keras model with quantum and classical parts
27 model = tf.keras.Sequential([ql, tf.keras.layers.Dense(1, activation="sigmoid")])
28
29 # train as a normal Keras model
30 model.compile(
31     loss=tf.keras.losses.BinaryCrossentropy(),
32     optimizer=tf.keras.optimizers.Adam(0.01),
33     metrics=[tf.keras.metrics.BinaryAccuracy()],
34 )
35 model.fit(x_train, y_train, batch_size=32, epochs=100)

```

**基准测试:** 基准测试。我们将 TensorCircuit 与其他软件的 MNIST 数据集的二进制分类（‘3’与‘6’）进行了基准测试，使用量子机器学习的分批输入。对于只有参数移动梯度支持的软件，每个 PQC 必须被评估  $O(np)$  次，其中  $np$  是电路参数的数量。这比支持 AD 的模拟器慢得多，在 AD 模拟器中，只需对 PQC 进行一次评估就足以获得所有的电路权重梯度。因此，我们只比较了 TensorCircuit 与其他支持 AD 的软件，如 TensorFlow Quantum 和 PennyLane（对于 PennyLane，我们利用其 JAX 后端模拟器，并使用 jit 和 vmap 技巧来提高性能）。TensorCircuit 的结果使用了默认的贪婪收缩路径查找器，使用定制的收缩路径查找器可以进一步改进。完整的基准细节见基准，结果见表??。

batch size	32	128	512
PennyLane (GPU)	0.042	0.0089	0.0200
TensorFlow Quantum	0.0580	0.2400	0.4900
TensorCircuit (CPU)	0.0070	0.0210	0.0850
TensorCircuit (GPU)	0.0035	0.0039	0.0054

**表 8.1:** 以分类平方距离误差为目标函数的 PQC ( $n = 10$  qubits, 电路深度  $p = 3$ ) 和批量数据集输入的性能基准（运行时间为秒）。TensorCircuitresults 使用 JAX 后端。GPU 模拟使用 Nvidia V100 32G GPU，而 CPU 模拟使用 Intel(R) Xeon(R) Platinum 8255C CPU @ 2.50GHz。注意，TensorFlow Quantum 只在 CPU 上运行电路模拟。\* 对于较小的批处理量，GPU 上的 PennyLane 运行时间确实较高。

## 8.2. 使用 TensorCircuit 和 OpenFermion 的 Molecular VQE

**背景:** 量子计算被认为是量子模拟和量子化学任务的有力工具 [62, 63]。在下面的突出特点中，我们展示了如何将 TensorCircuit 与 OpenFermion[64] 对接，以计算 H<sub>2</sub>O 分子的基态能量，而在基准测试部分，我们比较了 TensorCircuit 与其他软件在横向场 Ising 模型的 VQE 能量计算的性

**突出的特点:** OpenFermion 是一个开源的 Python 软件包，提供了量子化学和量子计算之间的有效接口。特别是，它提供了一个方便的方法来生成分子哈密顿，并将其转换为与量子电路模拟兼容的量子比特哈密顿。为了利用这一点，我们提供了 `tc.templates.chems.get_ps` API，它提供了 TensorCircuit 和 OpenFermion 之间的接口，并将 OpenFermion 的量子哈密顿对象转换为 TensorCircuit 使用的 Pauli 结构和权重张量（见第六节 B 1）。用于通过 OpenFermion 在 TensorCircuit 中生成哈密顿表示法的相关代码片段如下所示。

**Listing 8.2:** 通过 OpenFermion 在 TensorCircuit 中生成哈密顿表示法

```

1 from openfermion.chem import MolecularData , geometry_from_pubchem
2 from openfermion.transforms import get_fermion_operator , jordan_wigner
3 from openfermionpyscf import run_pyscf
4
5 multiplicity = 1
6 basis = "sto-3g"
7 # 14 spin orbitals for H2O
8 geometry = geometry_from_pubchem("h2o")
9 molecule = MolecularData(geometry, basis, multiplicity)
10 # obtain H2O molecule object
11 molecule = run_pyscf(molecule, run_mp2=True, run_cisd=True, run_ccsd=True, run_fci=True)
12 print(molecule.fci_energy , molecule.ccsd_energy , molecule.hf_energy)
13
14 mh = molecule.get_molecular_hamiltonian()
15 # get fermionic Hamiltonian
16 fh = get_fermion_operator(mh)
17 # get qubit Hamiltonian via Jordan-Wigner transformation
18 jw = jordan_wigner(fh)
19 # converting to Pauli structures in tc
20 structures , weights = tc.templates.chems.get_ps(jw, 14)
21 # build sparse numpy matrix representation for the Hamiltonian
22 ma = tc.quantum.PauliStringSum2C00_numpy(structures , weights)

```

PQC	n=10,d=3	n=16,d=16	n=22,d=11
PennyLane (GPU)	0.067	0.68	OOM
TensorFlow Quantum	0.005	0.026	0.68
TensorCircuit (CPU)	0.00077	0.078	4.70
TensorCircuit (GPU)	0.0026	0.023	0.19

表 8.2: n-qubit、d 层参数化量子电路的值和梯度评估的性能基准（运行时间为秒），目标函数为 TFIM Hamiltonian。TensorCircuitresults 使用 JAX 后端。GPU 模拟使用 Nvidia V100 32G GPU，而 CPU 模拟使用 Intel(R) Xeon(R) Platinum 8255C CPU @ 2.50GHz。OOM 表示 GPU 的内存不足以运行相应的基准代码。注意，TensorFlow Quantum 目前只支持 CPU 上的量子电路模拟。

**基准测试:** 我们在此提供一些用于 TFIM VQE 评估的基准数据。具体来说，我们计算 TFIM 能量期望值和相应的电路梯度（相对于电路参数）。对于 TensorCircuit，我们使用（可能效率较低的）显式 for 循环来执行 Pauli string summation（见第 VI B 2 节）以获得公平的比较，我们的基准测试重点是评估 PQC 及其梯度的效率。基准设置和细节见基准。结果总结在表六中。从两个例子中的 QML 和 VQE 任务的基准测试中，我们可以看到 TensorCircuit 确实在量子电路仿真中带来了大幅度的加速。在 GPU 上的加速更令人印象深刻，特别是当电路尺寸或批量维度较大时。

### 8.3. 贫瘠高原的展示

**背景.** 所谓的贫瘠高原现象是指随机电路的梯度随着量子比特数量的增加而迅速呈指数性消失。为了用数字证明这一点，需要计算不同电路结构（即电路中随机门的选择）和电路权重上的电路梯度方差。梯度可以通过自动微分获得，而不同的电路权重可以被矢量化和 jitted 以提高性能。此外，就像在这个例子中，不同的电路结构也可以被矢量化和 jitted，以获得进一步的加速。

**突出的特点.** 这个例子展示了 jit 和 vmap 是如何应用于不同的电路结构的。第六节 C 2 中介绍了 vmap 电路结构的能力。在这里，我们给出了更多关于如何通过一个张量参数作为输入来编码不同的电路结构的细节。电路结构的核心部分如下。

Listing 8.3: jit 和 vmap 应用于不同的电路结构

```

1 Rx = tc.gates.rx
2 Ry = tc.gates.ry
3 Rz = tc.gates.rz
4
5 # params is a tensor for the circuit weights with shape [n_qubits, n_layers]
6 # seeds is a tensor for the circuit structure with shape [n_qubits, n_layers]
7
8 c = tc.Circuit(n_qubits)
9 for l in range(n_layers):
10     for i in range(n_qubits):
11         c.unitary_kraus(
12             [Rx(params[i, l]), Ry(params[i, l]), Rz(params[i, l])],
13             i,
14             prob=[1 / 3, 1 / 3, 1 / 3],
15             status=seeds[i, l],
16         )
17     for i in range(n_qubits - 1):
18         c.cz(i, i + 1)

```

	TensorFlow Quantum	TensorCircuit (CPU)	TensorCircuit (GPU)
time (s)	6.24	0.12	0.011

表 8.3: 在不同的随机电路架构和电路权重上进行梯度方差评估的性能基准（10 个量子比特，10 层，100 个不同的电路）。TensorCircuitresults 使用 JAX 后端。GPU 模拟使用 Nvidia V100 32G GPU，而 CPU 模拟使用 Intel(R) Xeon(R) Gold 6133 CPU @ 2.50GHz。请注意，TensorFlow Quantum 只支持 CPU 进行量子电路仿真。

种子张量通过 `unitary_kraus` API 控制电路结构。这个 API 告诉电路从  $R_x$ 、 $R_y$ 、 $R_z$  中随机地附加一个门，概率为 1/3。`status` 参数将随机数的生成外部化（见 VB1 节）。也就是说，当状态小于 1/3 时，应用第一个门；当状态在 [1/3, 2/3] 范围内时，应用列表中的第二个门，以此类推。因此，通过生成一个随机数组 `seeds = K.implicit_randu(size=[n_qubits, n_layers])`，我们可以生成不同的随机电路  $s$ 。通过生成与你希望并行计算的不同架构数量相对应的额外批次维度的种子，可以对不同架构的模拟进行矢量化和 `jitted`。

基准测试。我们使用 TensorFlow Quantum 和 TensorCircuit 对不同的随机电路权重和不同的电路结构进行梯度方差计算的基准测试。（详见 `examples/bp_benchmark.py`）。表七显示了 100 个随机电路结构的计算时间，每一个都是 10 比特，10 层的电路。在  $10 \times 10$  的电路权重和 100 个不同的电路中，`vmap` 和 `jit` 的组合为 TensorCircuit 提供了比 TensorFlow Quantum 更快五百倍的速度。

## 8.4. 非常大的电路模拟

背景。如前所述，张量网络量子模拟器并不面临限制全状态模拟器的内存瓶颈，因此，只要电路连通性和深度合理，就可以模拟更大数量的量子比特。在下面的突出特点和基准测试部分，我们考虑了一个在 600 个量子比特上的 1D TFIM VQE 工作流程，其中有 7 层双量子比特门，以梯形布局排列，与地面实况相比，估计能量的准确性超过了 99%。

突出的特点。MPO 形式主义与 `cotengra` 路径搜索器的结合使我们能够模拟具有非常大的量子比特数的电路。具体来说，我们利用 (i) 先进的 `cotengra` 路径搜索器，配备了子树重构后处理，并采用类似于第六节 E 2 的设置；(ii) 空间有效的 MPO 表示，以评估 TFIM 哈密顿的量子期望



(见第六节 B 3)。对于电路的构建，分裂的配置被用来分解参数化的 ZZ 门，使用 SVD 将键的维度减少到 2，这进一步简化了要收缩的张量网络结构（见图 11）。这样的双比特门分解的实现方式如下。

number of qubits	log2[WRITE]	time for one step	energy accuracy reached
200	27.3	5.7	99.60%
400	29.3	11.8	99.50%
600	31.5	18.2	99.40%

表 8.4: 不同量子位数的大规模 VQE 任务的性能基准（运行时间为秒）。TensorCircuit 结果使用 TensorFlow 后端，在 Nvidia A100 40G GPU 上运行。请注意，VQE 优化的超参数没有被调整，所以获得的能量精度只代表当前方法性能的下限。一个步骤的时间包括计算能量期望值和电路梯度。

Listing 8.4: 收缩张量网络结构

```

1 split_conf = {
2     "max_singular_values": 2,
3     "fixed_choice": 1,
4 }
5 # set the SVD decomposition option in circuit level
6 c = tc.Circuit(n, split=split_conf)
7 # or set the SVD decomposition option in gate level
8 c.exp1(i, i + 1, theta=param, unitary=tc.gates._xx_matrix, split=split_conf)

```

用于参考的地面能量是通过使用 Quimb 软件包的双站点 DMRG 获得的。

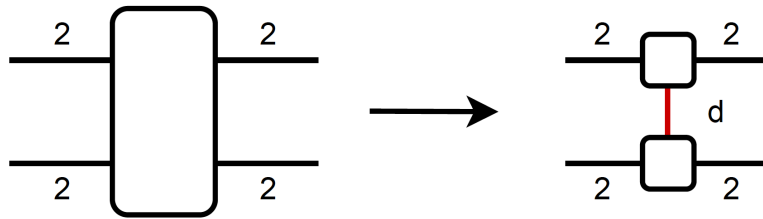


图 8.1: 将双量子门的 SVD 分解为一个张量网络。这种操作可以用来降低基础网络的复杂性。虽然对于一般的双比特门来说，分解后的结合维数  $d$  是 4，但对于某些类型的双比特门来说，它可以更低。例如，在我们的案例中，双量子位参数化门的形式为  $\exp(i\theta XX)$ ,  $d = 2$ 。

基准测试。我们利用的参数化电路有  $n$  个量子比特和 7 层，包含  $21n$  个单量子比特门和  $7n$  个双量子比特门。 $n = 200, 400, 600$  的结果总结在表八中，每个计算步骤的时间对应于能量期望值和电路梯度的评估。

# 9

## 前景和结束语

我们介绍了 **TensorCircuit**，一个开源的 **Python** 软件包，旨在满足更大和更复杂的量子计算模拟的要求。**TensorCircuit** 建立在现代机器学习库的基础上，并结合了所有主要的工程范式，其灵活和可定制的张量网络引擎可以实现高性能的电路计算。**展望未来**。我们将继续开发 **TensorCircuit**，以提供一个更有效、更优雅、全功能和兼容 **ML** 的量子软件包。在我们的优先列表中，最重要的是

1. 更好的张量网络收缩路径搜索器：整合更先进的算法和机器学习技术以实现最佳收缩路径搜索。
2. 脉冲级优化和量子控制：实现端到端的可微调脉冲级优化和最优量子控制计划 [65, 66]。
3. 分布式量子电路模拟：实现张量网络并行切片和多主机上的分布式计算。
4. 基于 **MPS** 的近似电路仿真：引入类似 **TEBD** 的算法 [67, 68] 来近似仿真大尺寸和大深度的量子电路。
5. 更多的量子感知或流形感知的优化器：包括诸如 **SPSA**[69]、**rotosolve**[70] 和 **Riemannian** 优化器 [71] 等优化器。
6. 量子应用：为金融、材料、能源、生物、药物发现、气候预测等方面的量子计算开发应用级库。

随着量子计算理论和硬件的持续快速发展，我们希望 **TensorCircuit** 这个为 **NISQ** 时代设计的量子模拟器平台能够在这个令人兴奋的领域的学术和商业进展中发挥重要作用。

# 10

## 致谢

The authors would like to thank our teammates at the Tencent Quantum Laboratory for supporting this project, and Tencent Cloud for providing computing resources. Shi-Xin Zhang would like to thank Rong-Jun Feng, Sai-Nan Huai, Dan-Yu Li, Zi-Xiang Li, Lei Wang, Hao Xie, Shuai Yin and Hao-Kai Zhang for their helpful discussions.

# 11

## 参考文献

- [1] M. A. Nielsen and I. L. Chuang, Quantum Computation and Quantum Information: 10th Anniversary Edition, 10th ed. (Cambridge University Press, USA, 2011).
- [2] M. Abadi, P. Barham, J. Chen, Z. Chen, A. Davis, J. Dean, M. Devin, S. Ghemawat, G. Irving, M. Isard, et al., Tensorflow: A system for large-scale machine learning, in 12th USENIX symposium on operating systems design and implementation (OSDI 16) (2016) pp. 265–283.
- [3] J. Bradbury, R. Frostig, P. Hawkins, M. J. Johnson, C. Leary, D. Maclaurin, G. Necula, A. Paszke, J. VanderPlas, S. Wanderman-Milne, and Q. Zhang, JAX: composable transformations of Python+NumPy programs (2018).
- [4] A. Paszke, S. Gross, F. Massa, A. Lerer, J. Bradbury, G. Chanan, T. Killeen, Z. Lin, N. Gimelshein, L. Antiga, A. Desmaison, A. Kopf, E. Yang, Z. DeVito, M. Raison, A. Tejani, S. Chilamkurthy, B. Steiner, L. Fang, J. Bai, and S. Chintala, in Advances in Neural Information Processing Systems.
- [5] J. Gray, cotengra, <https://github.com/jcmgray/cotengra> (2020).
- [6] J. Gray and S. Kourtis, Hyper-optimized tensor network contraction, Quantum 5, 410 (2021).
- [7] J. Preskill, Quantum computing in the nisq era and beyond, Quantum 2, 79 (2018).
- [8] K. Bharti, A. Cervera-Lierta, T. H. Kyaw, T. Haug, S. Alperin-Lea, A. Anand, M. Degroote, H. Heimonen, J. S. Kottmann, T. Menke, W.-K. Mok, S. Sim, L.-C. Kwek, and A. Aspuru-Guzik, Noisy intermediate-scale quantum algorithms, Reviews of Modern Physics 94, 015004 (2022).
- [9] M. Cerezo, A. Arrasmith, R. Babbush, S. C. Benjamin, S. Endo, K. Fujii, J. R. McClean, K. Mitarai, X. Yuan, L. Cincio, and P. J. Coles, Variational quantum algorithms, Nature Reviews Physics 3, 625 (2021).
- [10] A. Peruzzo, J. McClean, P. Shadbolt, M.-H. Yung, X.-Q. Zhou, P. J. Love, A. Aspuru-Guzik, and J. L. O’Brien, A variational eigenvalue solver on a photonic quantum processor, Nature communications 5, 1 (2014).

- 
- [11] E. Farhi, J. Goldstone, and S. Gutmann, A quantum approximate optimization algorithm, arXiv preprint arXiv:1411.4028 (2014).
- [12] A. Kandala, A. Mezzacapo, K. Temme, M. Takita, M. Brink, J. M. Chow, and J. M. Gambetta, Hardware-efficient variational quantum eigensolver for small molecules and quantum magnets, *Nature* 549, 242 (2017).
- [13] J. R. McClean, S. Boixo, V. N. Smelyanskiy, R. Babbush, and H. Neven, Barren plateaus in quantum neural network training landscapes, *Nature communications* 9, 1 (2018).
- [14] E. R. Anschuetz, Critical points in quantum generative models, arXiv:2109.06957 (2021).
- [15] M.-H. Yung, J. Casanova, A. Mezzacapo, J. McClean, L. Lamata, A. Aspuru-Guzik, and E. Solano, From transistor to trapped-ion computers for quantum chemistry, *Scientific reports* 4, 1 (2014).
- [16] U. Schollwöck, The density-matrix renormalization group in the age of matrix product states, *Annals of Physics* 326, 96 (2011).
- [17] Y. LeCun, Y. Bengio, and G. Hinton, Deep learning, *Nature* 521, 436 (2015).
- [18] M. Bartholomew-Biggs, S. Brown, B. Christianson, and L. Dixon, Automatic differentiation of algorithms, *J. Comput. Appl. Math.* 124, 171 (2000).